



**Physik der
Kondensierten Materie 2**

Rudolf Gross

SS 2021

Teil 8

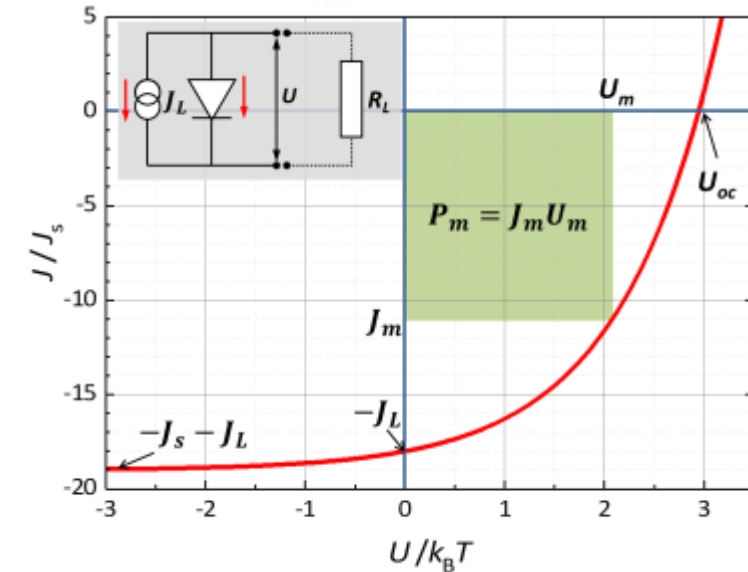
Vorlesungsstunde: 20.04.2021-2

• **Solarzelle** IVC: $J = J_s \left[\exp\left(\frac{eU}{k_B T}\right) - 1 \right] - J_L$

$U = 0 \Rightarrow J_{sc} = -J_L$

$I = 0 \Rightarrow U_{oc} = \frac{k_B T}{e} \ln\left(\frac{J_L}{J_s} + 1\right)$

← zusätzlicher Driftstrom durch Beleuchtung



maximale Flächenleistung: aus $dP/dU = 0$ folgt

$$U_m = \frac{k_B T}{e} \ln\left(\frac{\frac{J_L}{J_s} + 1}{\frac{eU_m}{k_B T} + 1}\right) \quad J_m = -J_L \left(1 - \frac{1 - \frac{J_s}{J_L} \frac{eU_m}{k_B T}}{\frac{eU_m}{k_B T} + 1}\right)$$

$P_m = -J_m U_m = \frac{J_L}{e} \cdot E_m$

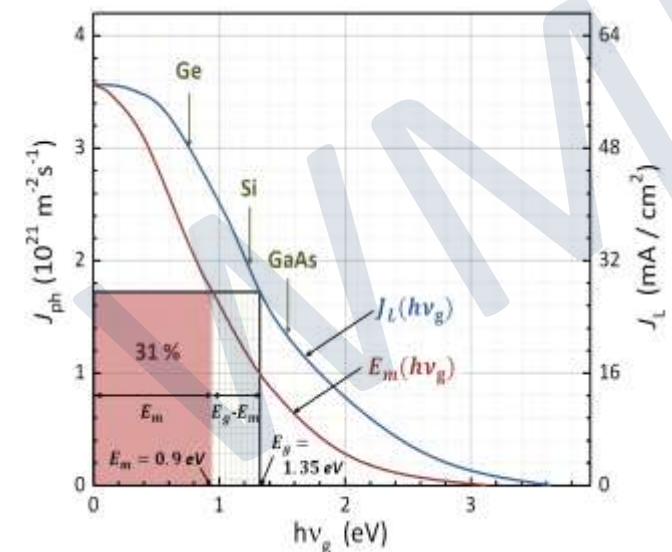
Konversionseffizienz: max. Ausgangsleistung/einfallende Strahlungsleistung

$$\eta = \frac{P_m}{P_{in}} = \frac{J_L E_m / e}{P_{in}} \quad \text{maximal 31\% bei } E_g \approx 1.35 \text{ eV}$$

$$J_L(v_g) = e J_{ph}(v_g) = e \int_{v=v_g}^{\infty} \frac{dJ_{ph}(v)}{dv} dv \quad \text{durch Photonenstromdichte } J_{ph} \text{ erzeugte elektrische Stromdichte } J_L$$

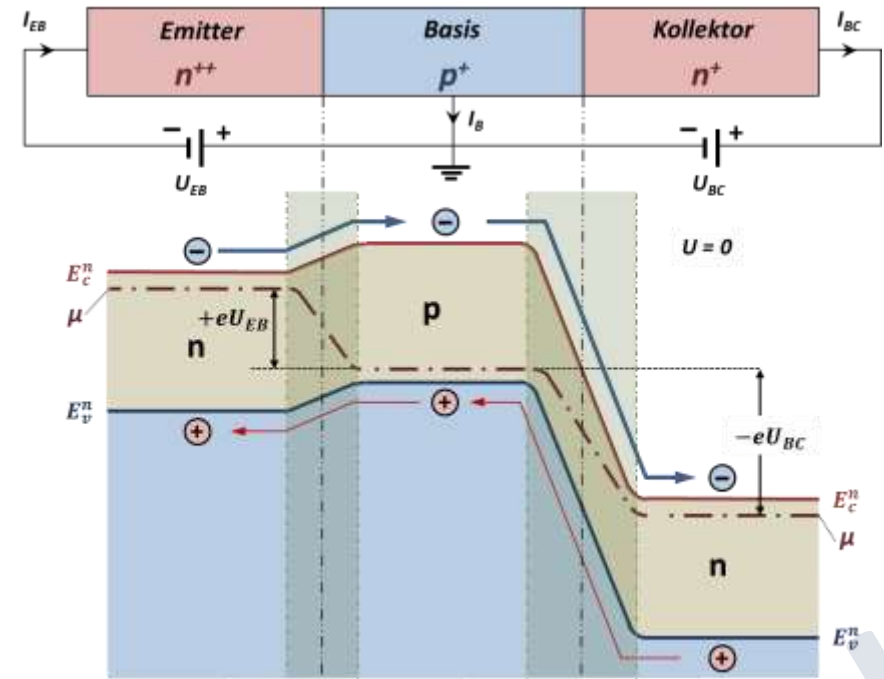
Wirkungsgrad: limitierende Faktoren

- (i) Photonen mit $h\nu < E_g$ tragen nicht bei
- (ii) für Photonen mit $h\nu > E_g$ wird nur $E_m < h\nu$ abgegeben
- (iii) Reflexion an Oberfläche, effektive Fläche < 100%, etc.
- (iv) Optimierung des Arbeitspunktes



• bipolarer Transistor

- zwei pn -Kontakte:
 Emitter-Basis-Kontakt in Durchlassrichtung
 Basis-Kollektor-Kontakt in Sperrrichtung
 Elektronen, die über EB-Kontakt in Basis fließen,
 werden durch BC-Potenzial abgesaugt
 - $I_{EB} \approx I_{BC} \Rightarrow I_B \approx 0$
 - $P_{EB} = I_B U_{EB} \approx 0$
 - $P_{BC} = I_{BC} U_{BC} \gg 0$

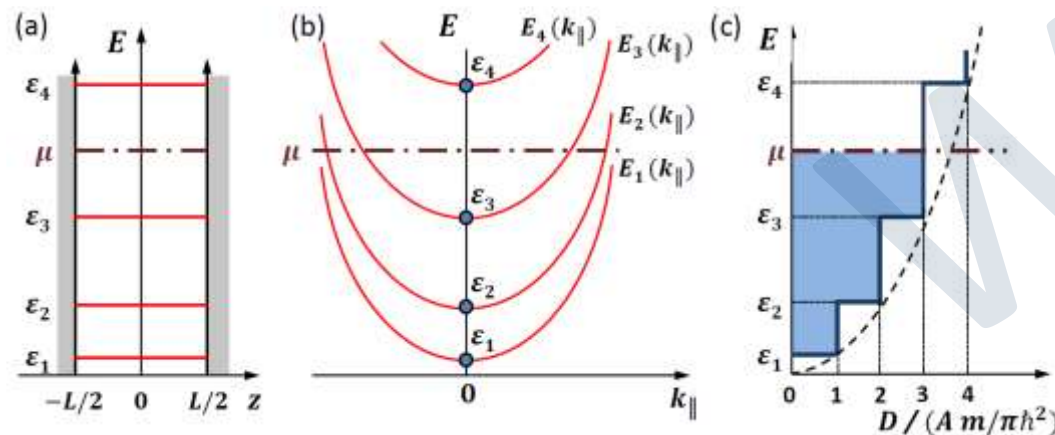


• niedrigdimensionale Elektronengassysteme

- Einschluss von Elektronengas auf Längenskala $L < \lambda_{\text{Fermi}}$
- 0D: **Quantenpunkt**, 1D: **Quantendraht**, 2D: **2D-Elektronengas**

Beispiel: 2D-Elektronengas

$$E_n = E_{\parallel} + \epsilon_n = \frac{\hbar^2 k_{\parallel}^2}{2m} + \frac{\hbar^2 \pi^2}{2m L^2} n^2$$



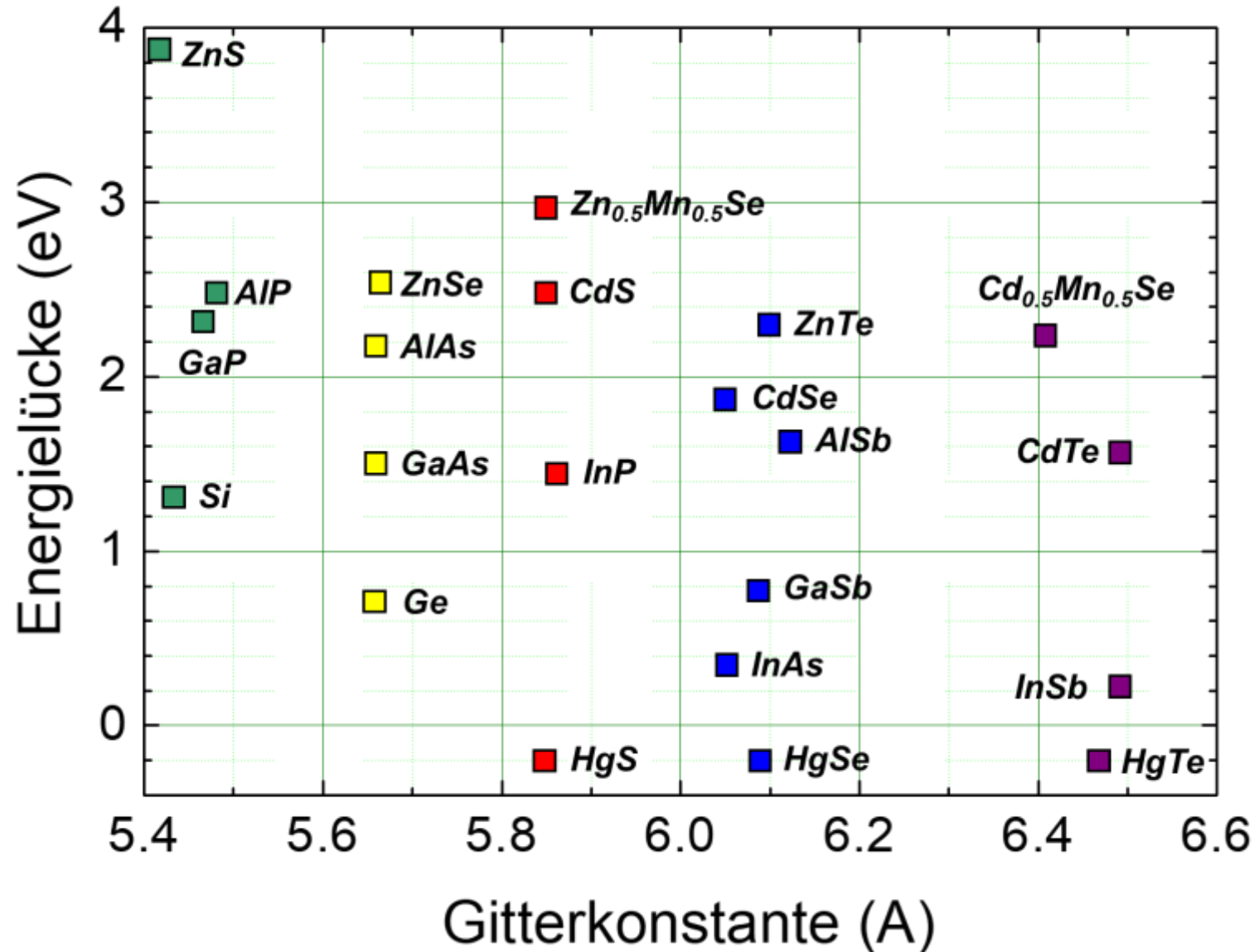
10.4.1 Realisierung von 2D Elektronengasen

- mehrere Möglichkeiten für die Realisierung von 2DEGs
 - **MOSFET**: Erzeugung von 2DEG in Halbleiter/Isolator/Metall-Heterostruktur durch elektrischen Feldeffekt
 - Patentierung bereits 1926 (Lilienfeld, USA) und 1934 (Heil, Deutschland)
 - **Halbleiter-Heterostrukturen**: Erzeugung von 2DEG an Grenzflächen zwischen unterschiedlichen Halbleitern
 - erste Vorschläge von Tsu und Esaki um 1970
 - Grundlage ist Halbleiter-Technologie, Wachstum von HL-Heterostrukturen mit Molecular Beam Epitaxy (MBE)

WMI

10.4.1 Realisierung von 2D Elektronengasen

- Halbleiter-Heterostrukturen



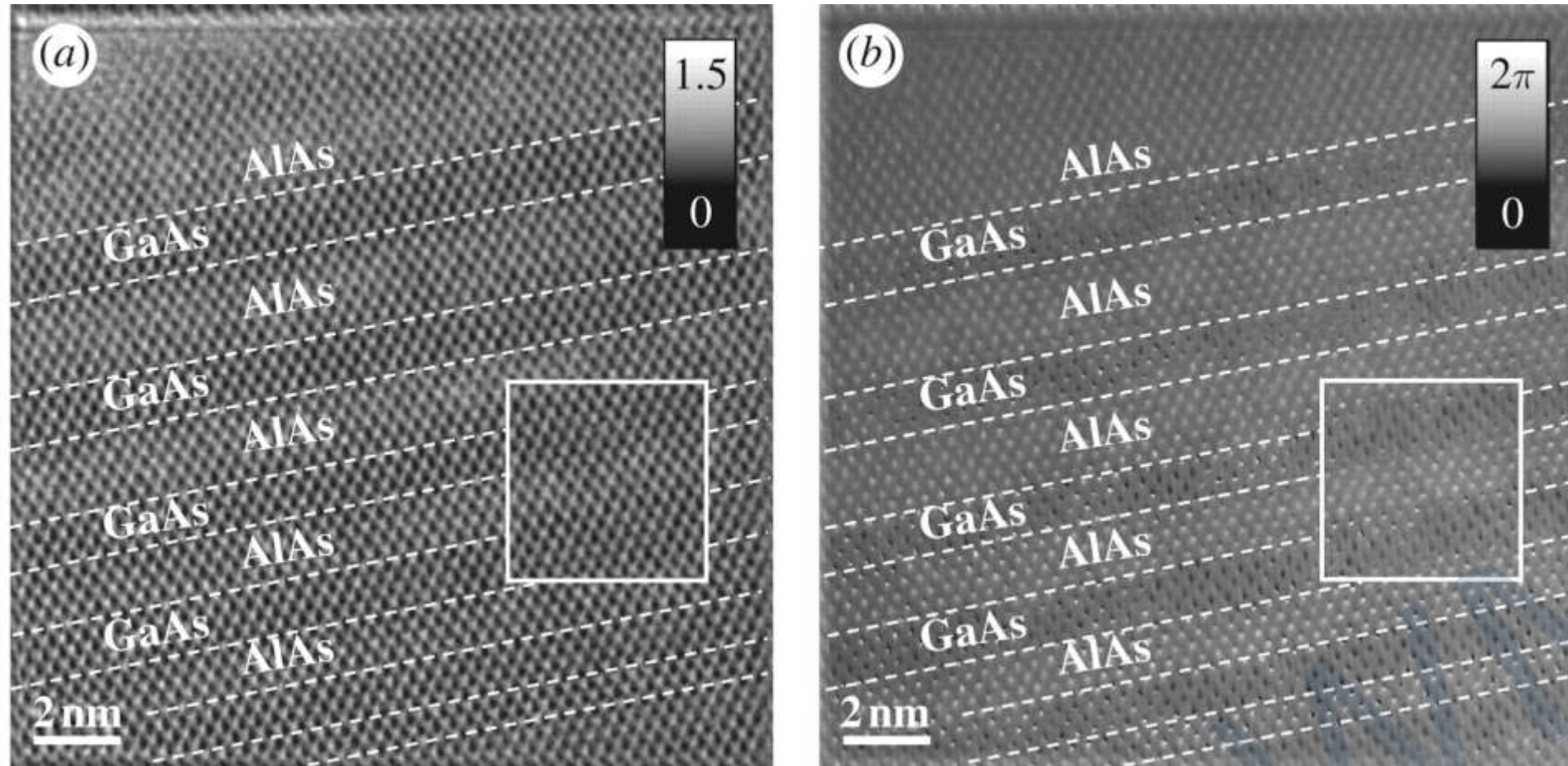
bei epitaktischem Wachstum führt Gitterfehlanspassung zwischen HL zu Defekten (z.B. Versetzungen) an Grenzflächen

→ gute Gitteranpassung innerhalb bestimmter HL-Familien erlaubt deren heteroepitaktisches Wachstum



10.4.1 Realisierung von 2D Elektronengasen

- Beispiel: GaAs/AlAs Heterostrukturen

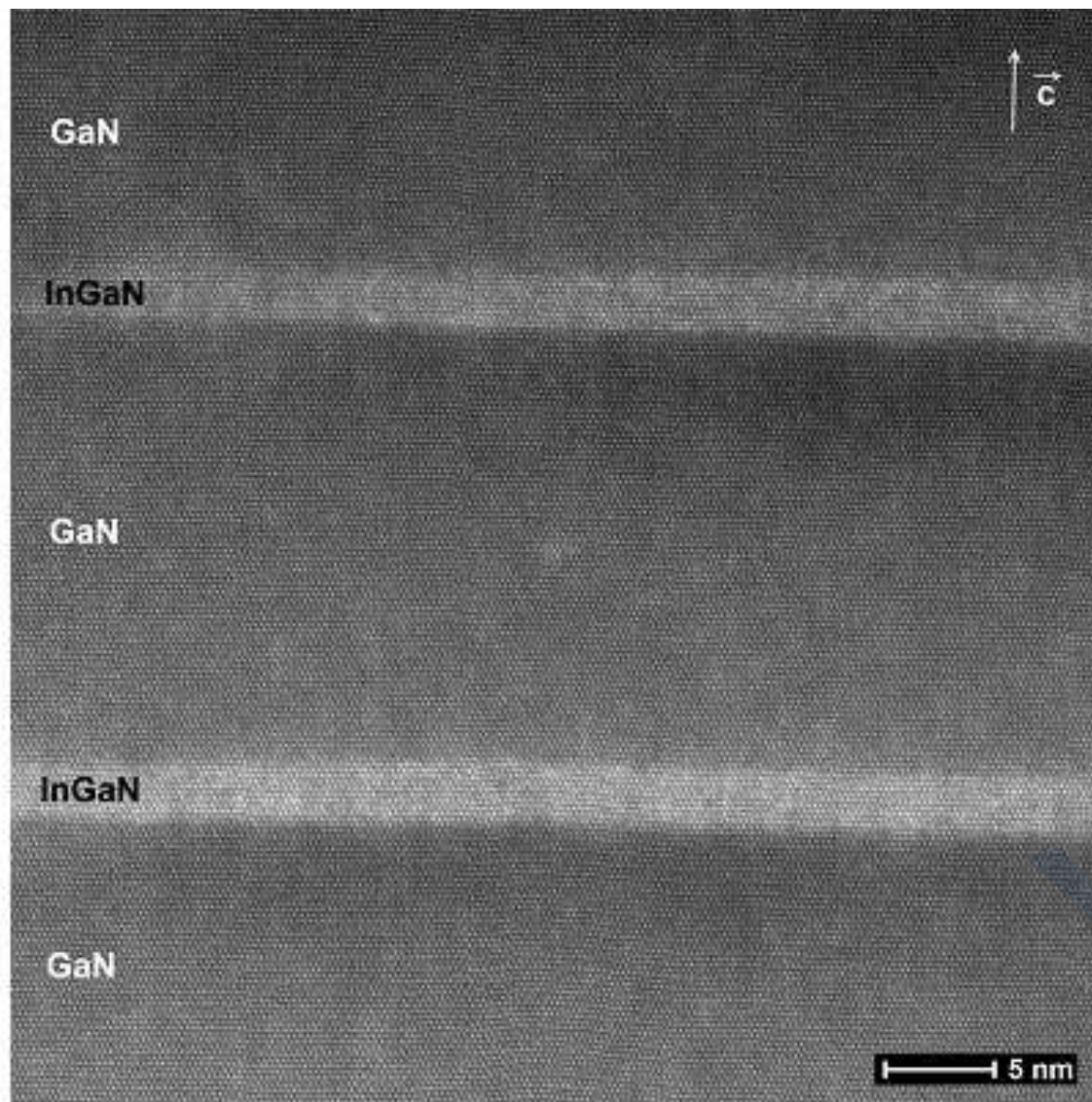


Cross-sectioned specimen of a GaAs/AlAs multi-layer system. It consists of [1 1 0]-oriented GaAs layers of constant width and AlAs layers increasing in width from bottom to top by one monolayer each (indicated by dashed lines).

H. Lichte *et al.*, Philosophical Transactions of the Royal Society of London A **367**, 3773-3793 (2009)

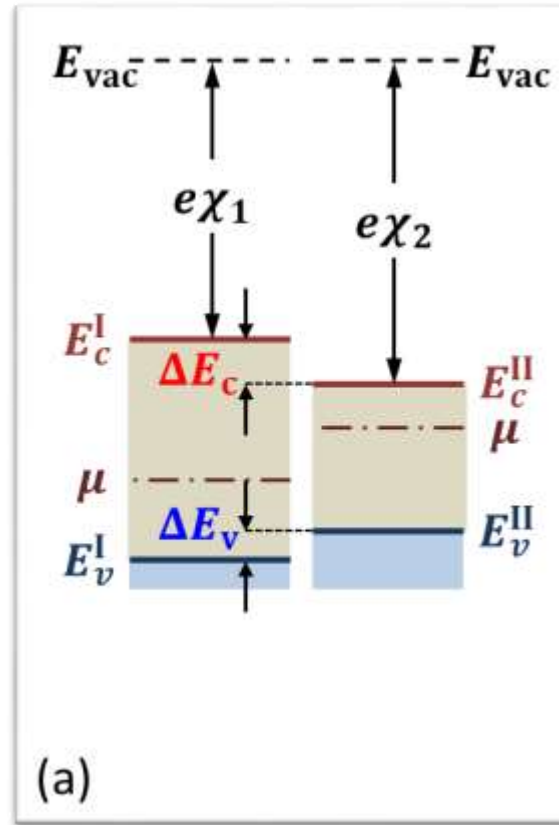
10.4.1 Realisierung von 2D Elektronengasen

- Beispiel: GaN/InGaN Heterostrukturen

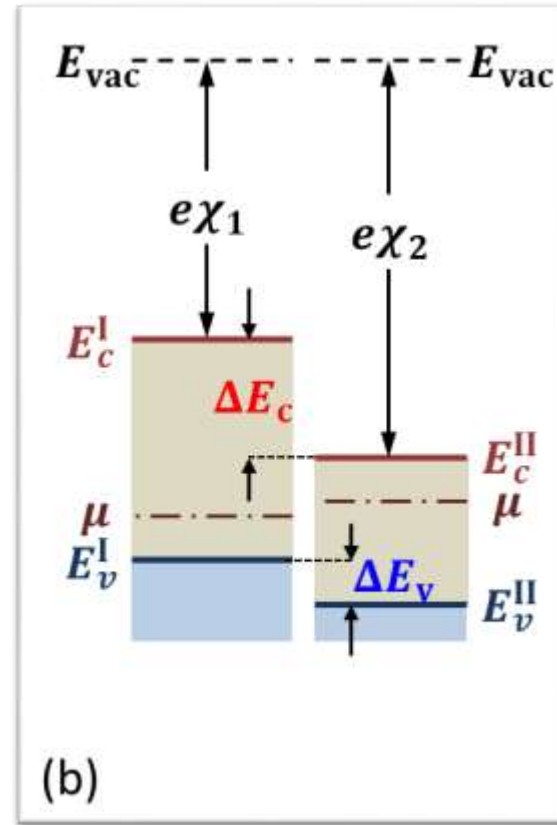


10.4.1 Realisierung von 2D Elektronengasen

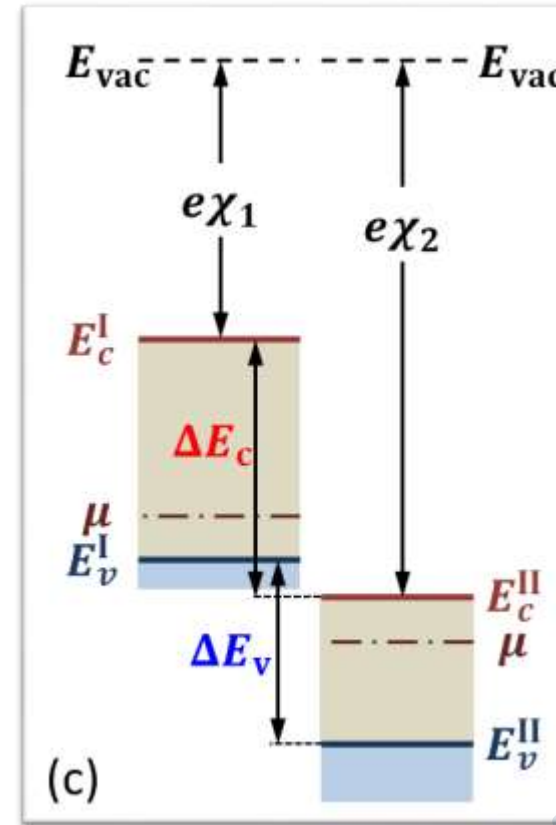
- Klassifizierung von Halbleiter-Heterostrukturen nach Größe/Art der Banddiskontinuität



(a) normale Banddiskontinuität
(z.B. GaAs/(Al,Ga)As, GaAs/Ge)



(b) gestapelte Banddiskontinuität



(c) gebrochene Banddiskontinuität
(z.B. GaSb/InAs)

- Berechnung von ΔE_v schwierig, da üblicherweise keine atomar scharfen Übergänge vorliegen
- aufgrund von Banddiskontinuitäten resultiert bei Kontakt **Bandverbiegung**

Banddiskontinuitäten durch unterschiedliche χ und E_g

$$\Delta E_c = e(\chi_1 - \chi_2) = e\Delta\chi$$

$$\Delta E_v = e(\chi_1 - \chi_2) + (E_{g,1} - E_{g,2}) = e\Delta\chi + \Delta E_g$$

10.4.1 Realisierung von 2D Elektronengasen

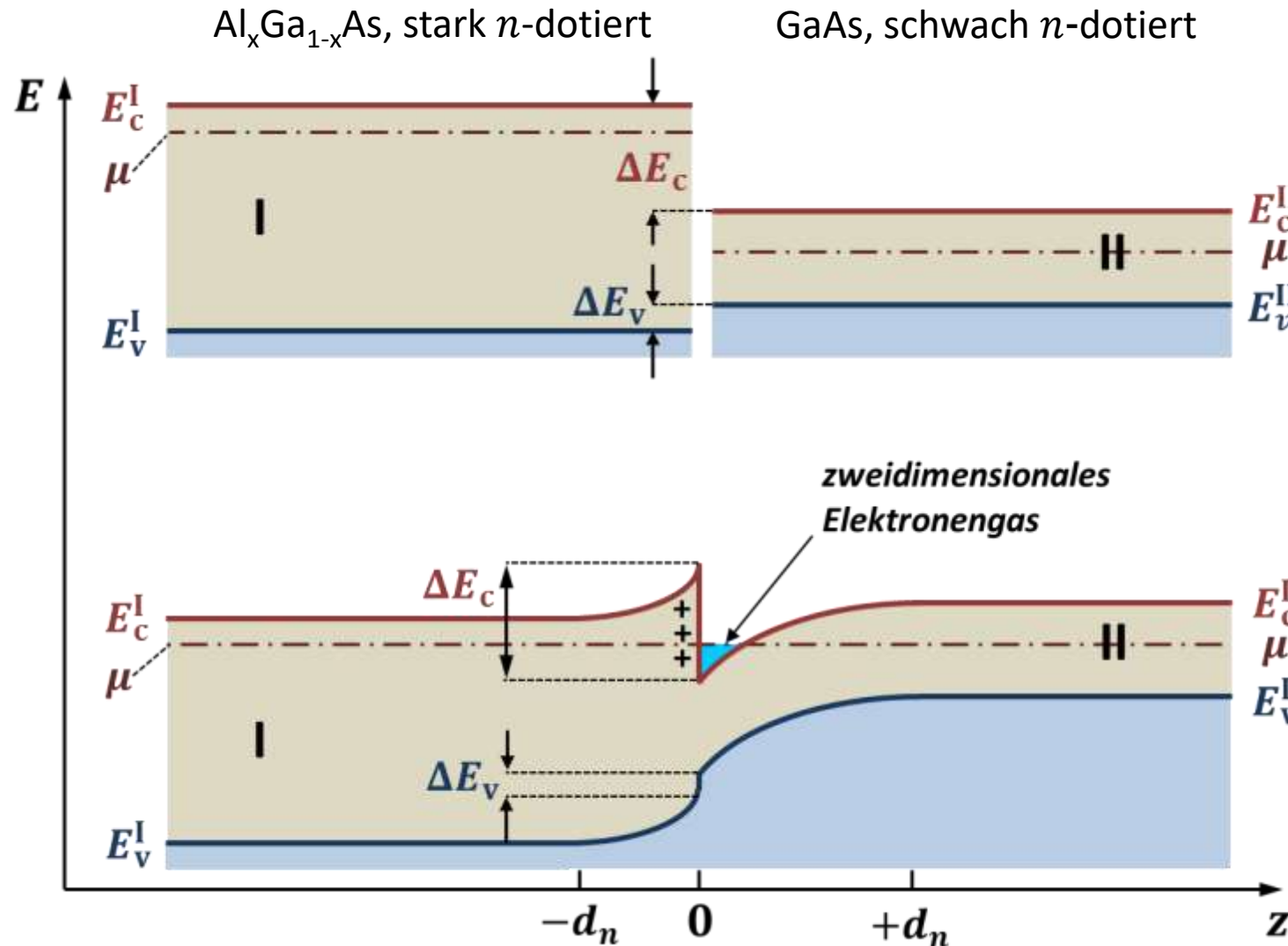
- experimentell bestimmte Banddiskontinuitäten

Heterostruktur	ΔE_v (eV)	Heterostruktur	ΔE_v (eV)
Si-Ge	0.28	InAs-Ge	0.33
AlAs-Ge	0.86	InAs-Si	0.15
AlAs-GaAs	0.34	InP-Ge	0.64
AlSb-GaSb	0.4	InP-Si	0.57
GaAs-Ge	0.49	InSb-Ge	0.0
GaAs-Si	0.05	InSb-Si	0.0
GaAs-InAs	0.17	CdS-Ge	1.75
GaP-Ge	0.80	CdS-Si	1.55
GaP-Si	0.80	CdSe-Ge	1.30
GaSb-Ge	0.20	CdSe-Si	1.20
GaSb-Si	0.05	CdTe-Ge	0.85
ZnSe-Ge	1.40	ZnTe-Ge	0.95
ZnSe-Si	1.35	ZnTe-Si	0.85

nach H. Morcoc, in *"The Technology and Physics of Molecular Beam Epitaxy"*, herausgegeben von E.H.C. Parker, Plenum Press, New York (1985)).

10.4.1 Realisierung von 2D Elektronengasen

- Beispiel: isotypische Halbleiter-Heterostruktur (z.B. $\text{Al}_x\text{Ga}_{1-x}\text{As}/\text{GaAs}$)



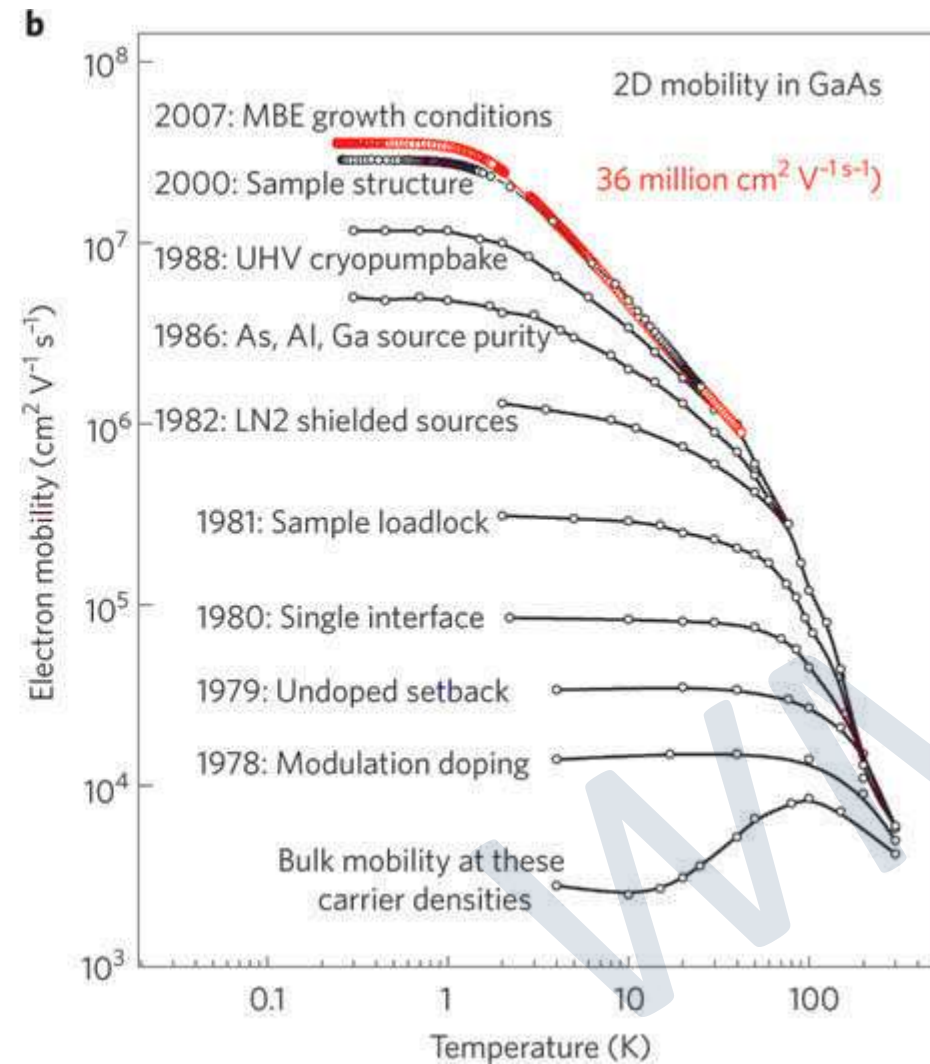
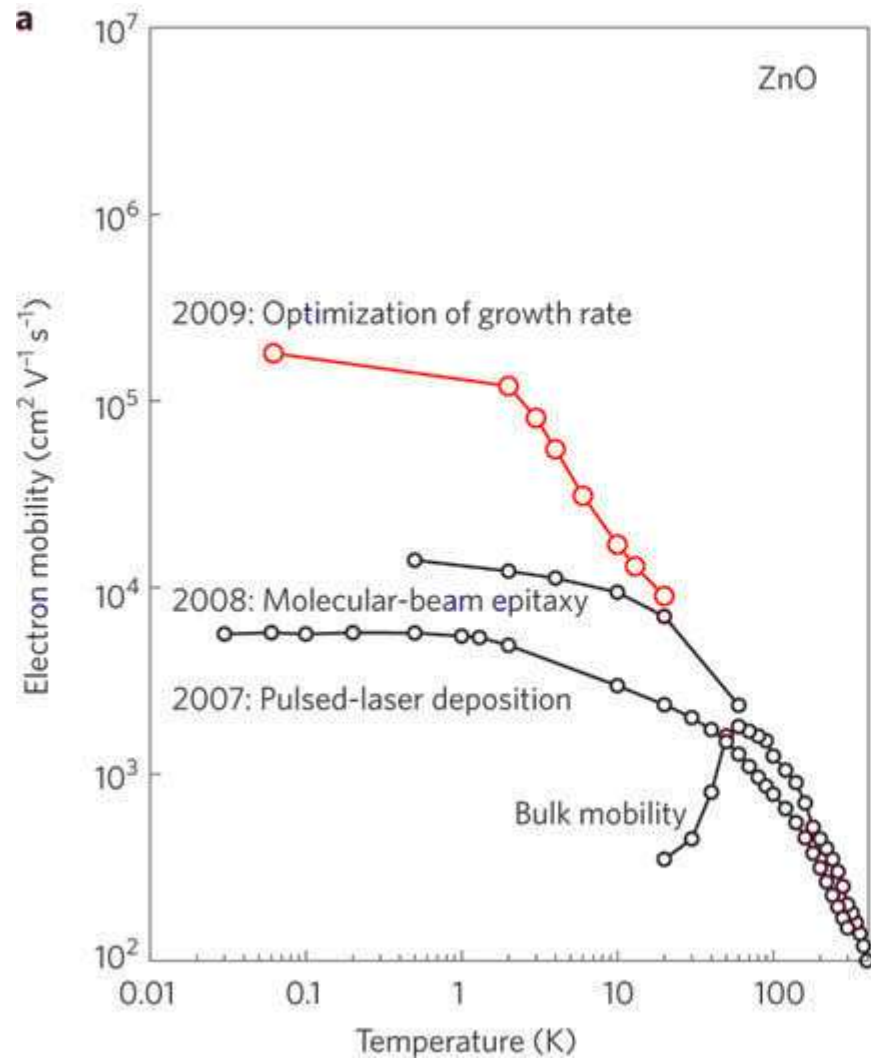
- isotypisch:
gleicher HL-Typ (n - oder p -Typ)

- Bandverbiegung:
resultiert in 2DEG im schwach dotierten HL

- **sehr hohe Beweglichkeit**, da keine Streuung an Störstellen
- $\mu > 10^6 \text{ cm}^2/\text{Vs}$ bei tiefen T
- HEMT (High Electron Mobility Transistor)

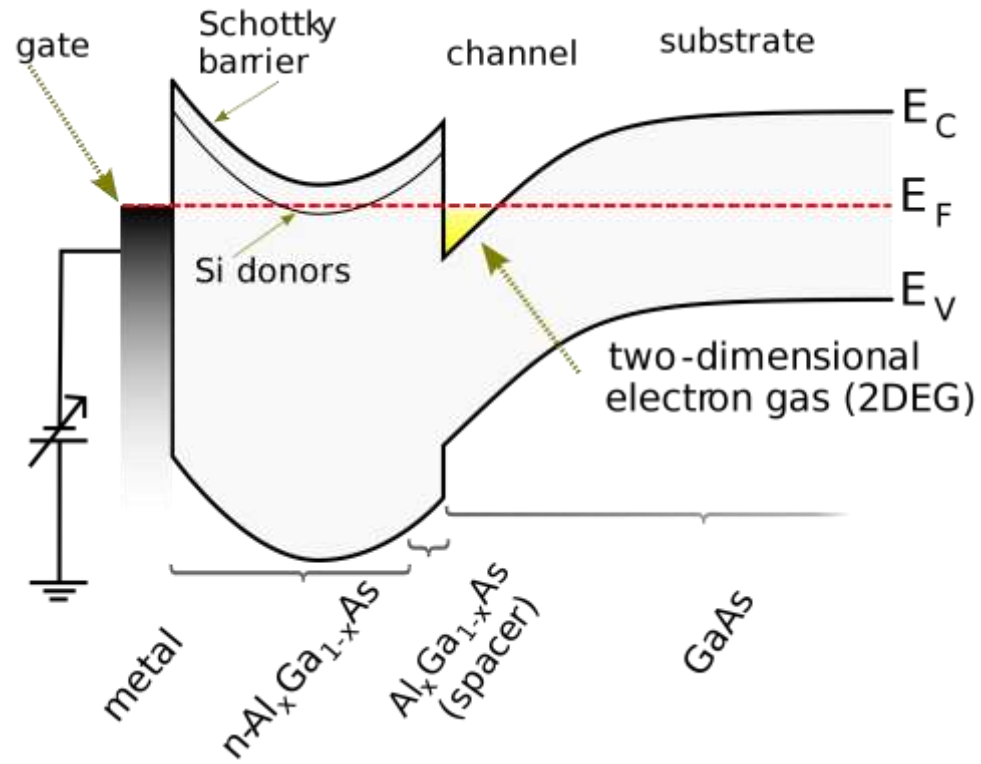
10.4.1 Realisierung von 2D Elektronengasen

- Beweglichkeit in 2D Elektronengas: ZnO und GaAs

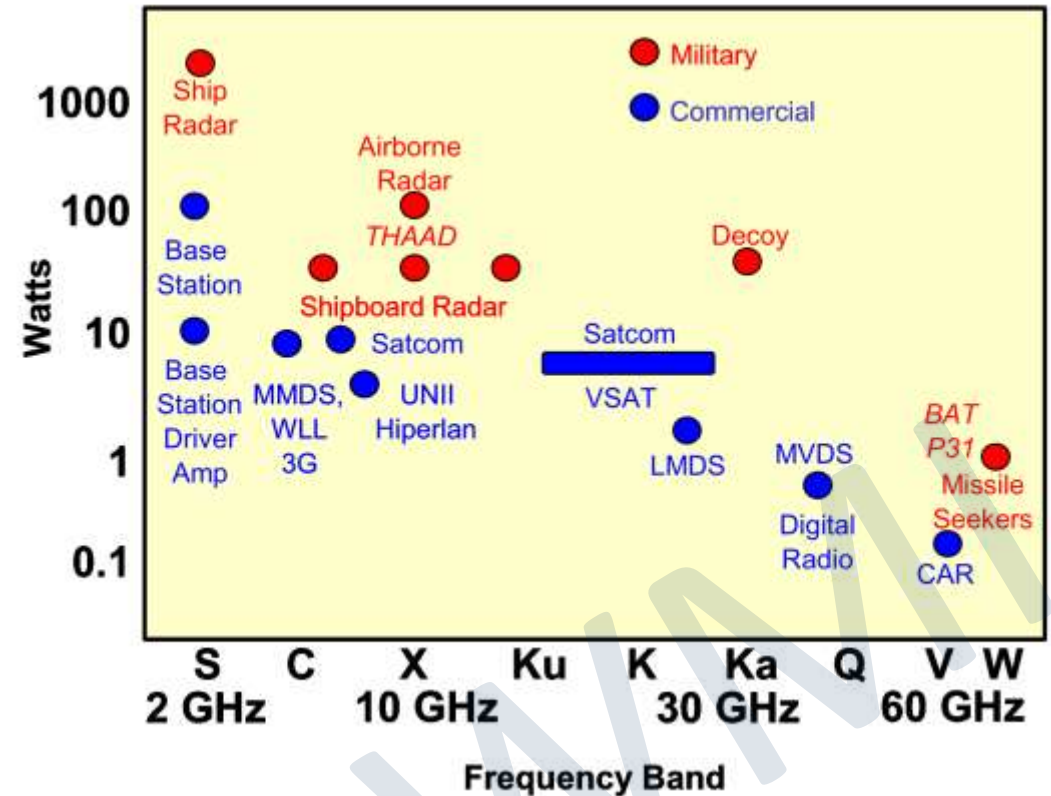


10.4.1 Realisierung von 2D Elektronengasen

- Anwendung von HEMTs in Hochfrequenzelektronik

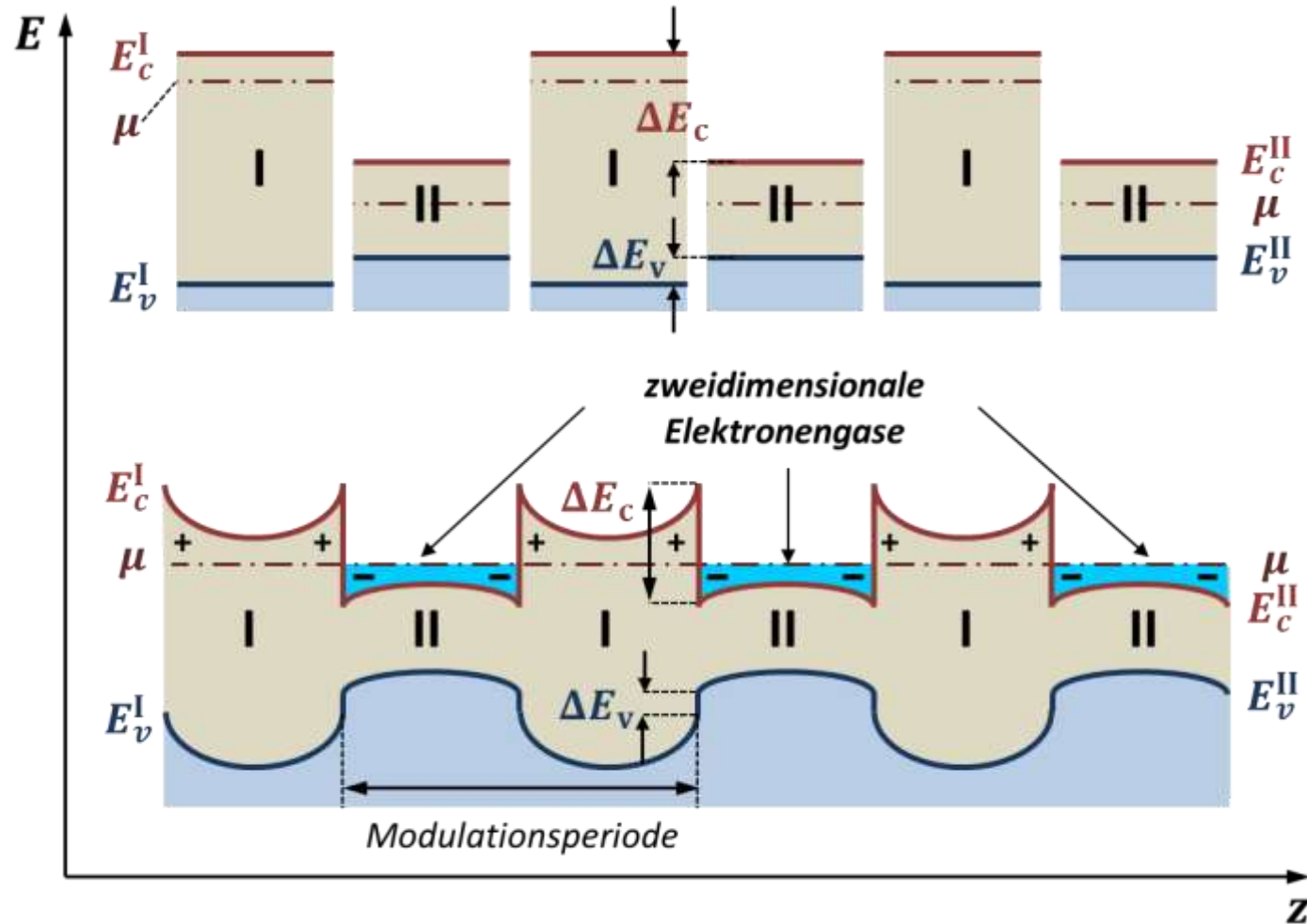


High Electron Mobility Transistor



10.4.1 Realisierung von 2D Elektronengasen

- Beispiel: Kompositionsübergitter (z.B. GaAs/Al_xGa_{1-x}As)



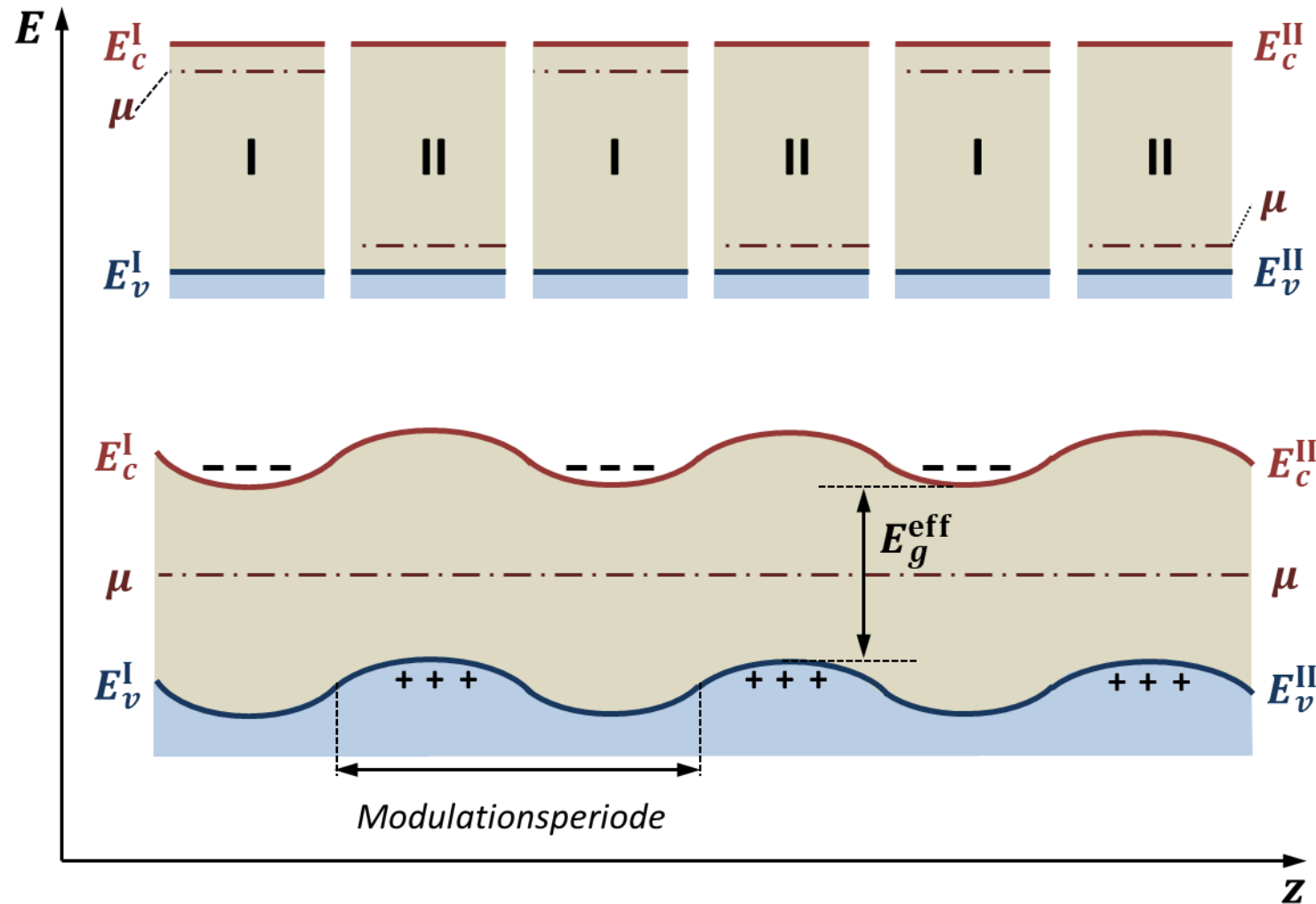
– Bandverbiegung:

- resultiert in Serie von Quantentrögen mit 2DEG
- Elektronengase mit hohen Beweglichkeiten
- Kopplung der 2DEGs führt zu "Minibändern"



10.4.1 Realisierung von 2D Elektronengasen

- Beispiel: Dotierungsübergitter (z.B. p - und n -dotiertes GaAs)



- Elektronen (Löcher) aus n -Typ HL (p -Typ HL) diffundieren in jeweils anderen HL-Typ
- zurückbleibende Raumladungen führen zu Bandverbiegung
- positive (negative) Raumladungen biegen Band nach oben (unten)

10.4.1 Realisierung von 2D Elektronengasen

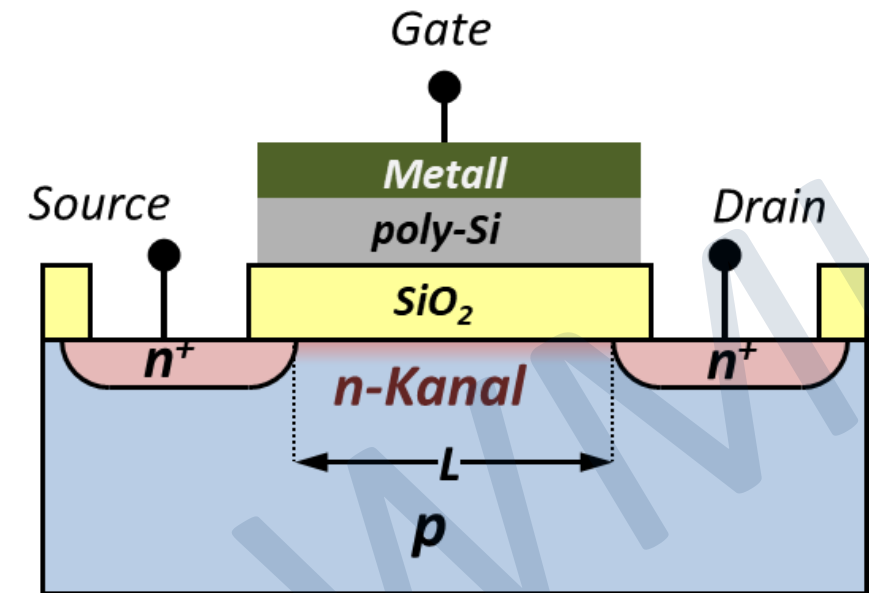
- **MOSFET: Metal-Oxide-Semiconductor Field Effect Transistor**

- Erzeugung von 2DEG in Halbleiter/Isolator/Metall-Heterostruktur durch elektrischen Feldeffekt
 - Patentierung bereits 1926 (Lilienfeld, USA) und 1934 (Heil, Deutschland)
 - technisch relevant erst nach 1960: Si/SiO₂-Systeme mit reproduzierbarer HL/Isolator-Grenzfläche

- **Aufbau von MOSFET**

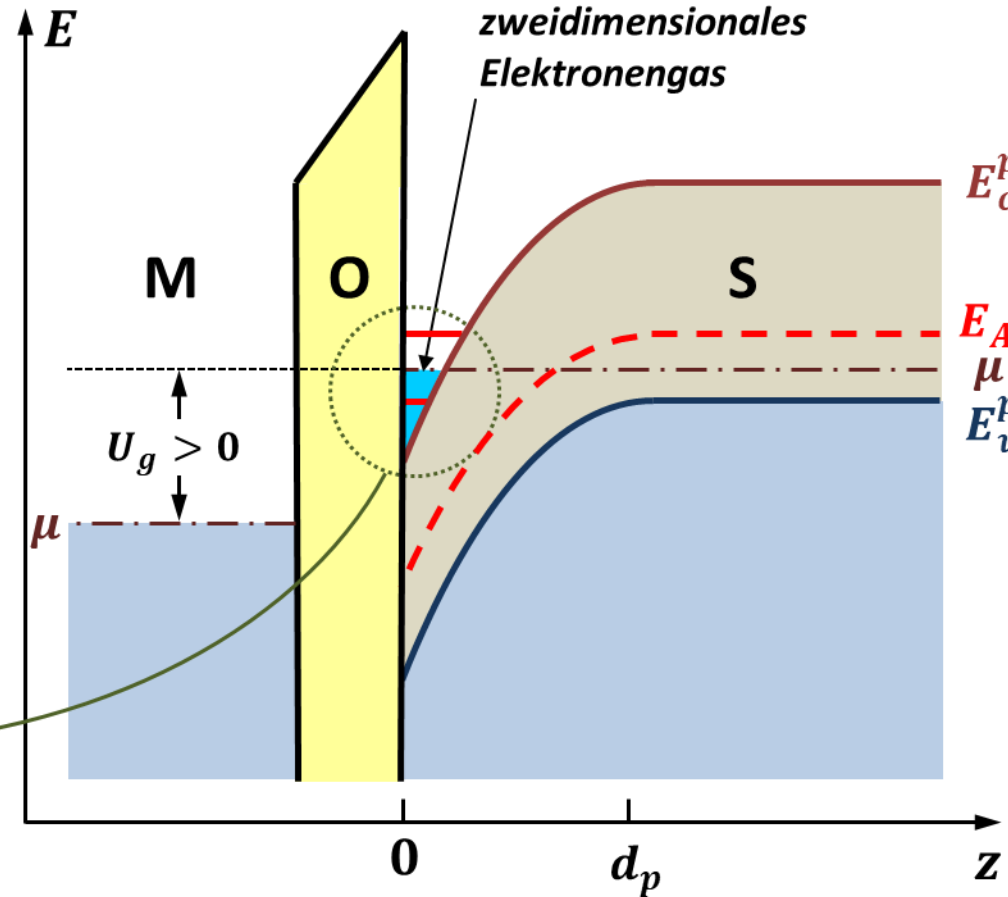
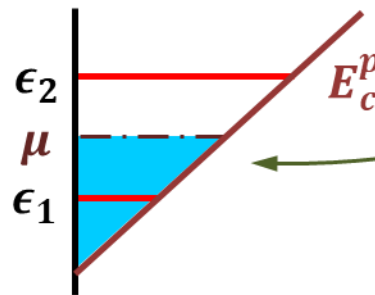
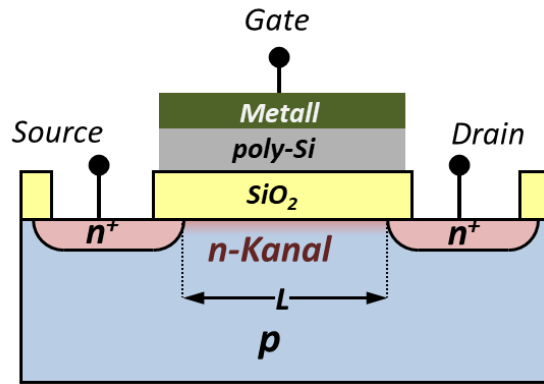
- hochdotierte Source- (Quelle) und Drain-Bereiche (Senke)
- niedrigdotierter Kanalbereich unter metallischem Gate
- wichtig ist gute Gate-Oxid wie SiO₂
- es liegt Serienschaltung von zwei *pn*-Kontakten vor
- einer der beiden *pn*-Kontakte sperrt immer

Wie bekommen wir leitende Source-Drain-Verbindung ?



10.4.1 Realisierung von 2D Elektronengasen

- MOSFET: Funktionsweise



- $U_g = 0$:
einer der beiden pn -Übergänge sperrt

- $U_g > 0$:
potentielle Energie der Elektronen wird im Metall um $(-e)U_g$ abgesenkt

Löcher in p -HL werden von Grenzfläche weggedrückt
 → negative Raumladung
 → Bandverbiegung nach unten

es bildet sich dreiecksförmiger Potenzialtopf mit 2D-Elektronengas (2DEG)

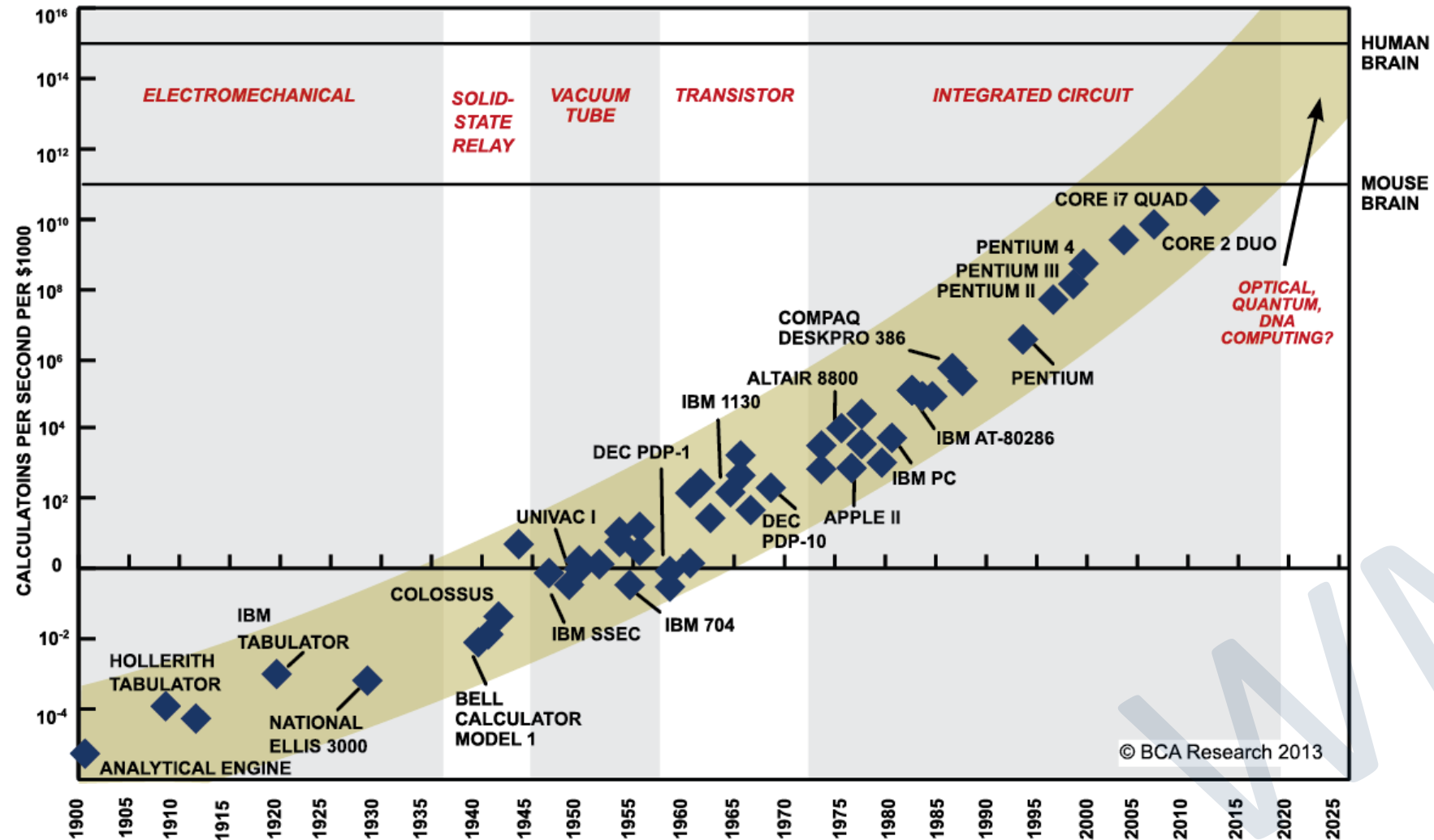
→ 2DEG in niedrigdotiertem p -HL: hohe Beweglichkeit da keine Streuung an Störstellen

→ Entdeckung des Quanten-Hall-Effekts durch von Klitzing, Dorda und Pepper (1980)

→ Mooresches Gesetz: Verkürzung der Kanallänge

10.4.1 Realisierung von 2D Elektronengasen

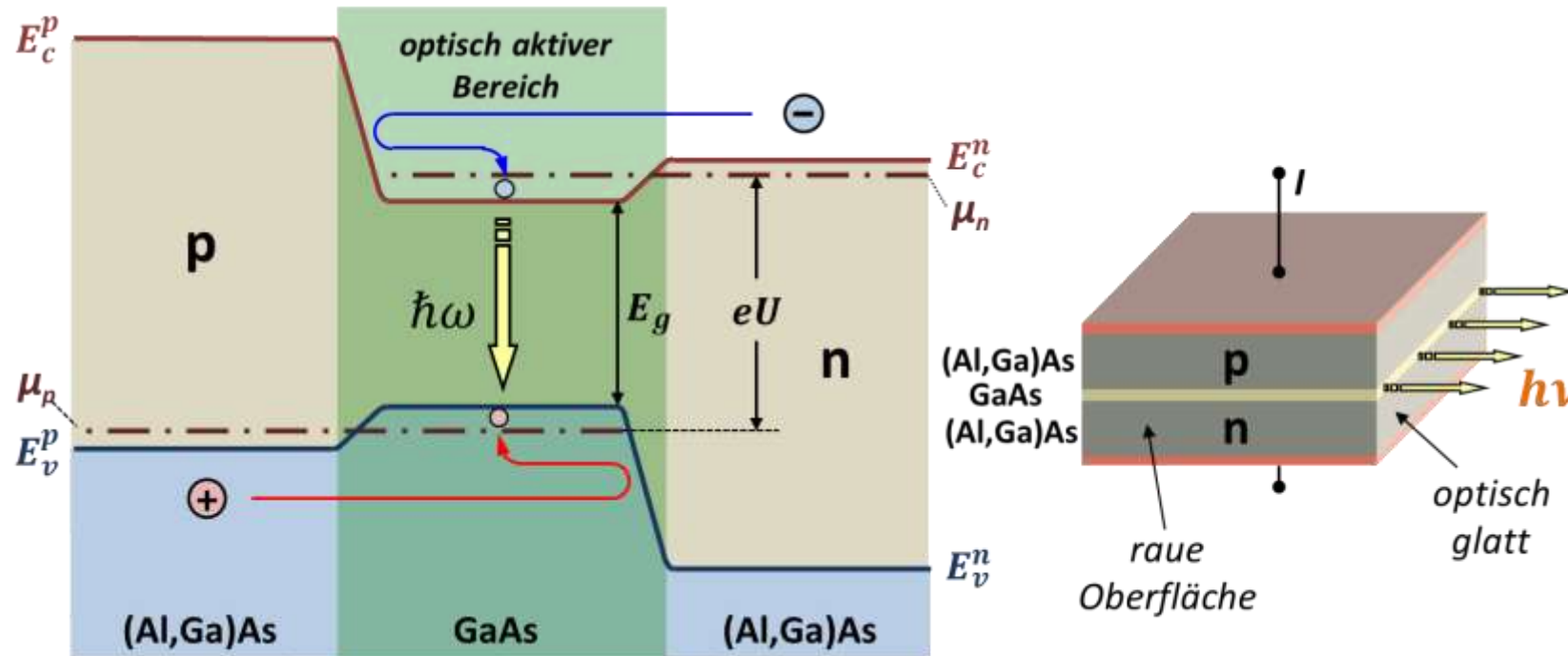
- Steigerung der Rechenleistung von Computern



SOURCE: RAY KURZWEIL, "THE SINGULARITY IS NEAR: WHEN HUMANS TRANSCEND BIOLOGY", P.67, THE VIKING PRESS, 2006. DATAPOINTS BETWEEN 2000 AND 2012 REPRESENT BCA ESTIMATES.

10.4.2 Halbleiter-Laser

- **Lichterzeugung in pn -Übergang: invers betriebene Solarzelle**
 - Voraussetzung für Laser: (i) Besetzungsinversion
(ii) Rückkopplung (Spiegel)
 - Beispiel: **Double Heterostructure Injection Laser**



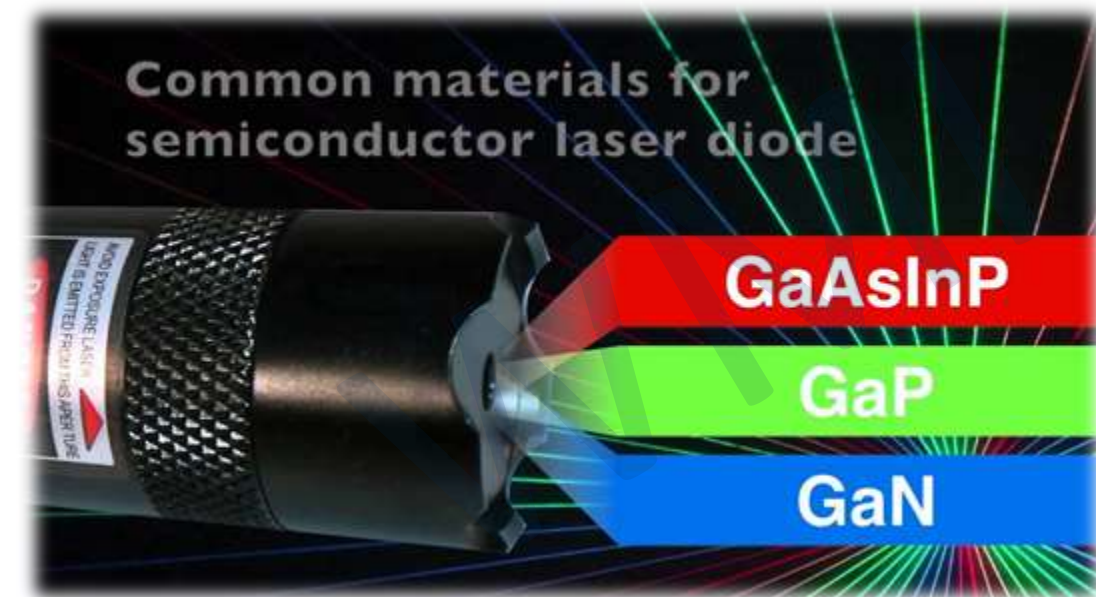
GaAs als optisch aktive Schicht: $E_g = 1.43 \text{ eV} \rightarrow \lambda = 838 \text{ nm}$

Funktionsweise:

- Elektronen und Löcher werden aus hochdotierten n - und p -HL in niedrigdotierten Bereich von direktem HL injiziert
- Bandverlauf bildet “Badewannen” für Elektronen und Löcher
→ Einschluss in kleinem Volumen
- Rekombination unter Emission von Photonen
- Spiegel durch optisch glatte HL-Oberfläche
- optischer Einschluss durch Brechungsindexgradienten

- **Weitverbreitete Wellenlängen von Halbleiter-Lasern**

- **405 nm** – [InGaN](#) blue-violet laser, in [Blu-ray Disc](#) and [HD DVD](#) drives
- 445-465 nm – [InGaN](#) blue laser multimode diode recently introduced (2010) for use in mercury-free high-brightness [data projectors](#)
- 510-525 nm – Green diodes recently (2010) developed by [Nichia](#) and [OSRAM](#) for laser projectors.
- 635 nm – [AlGaInP](#) better red laser pointers, same power subjectively twice as bright as 650 nm
- 650-660 nm – [GaInP/AlGaInP CD,DVD](#), cheap red [laser pointers](#)
- 670 nm – [AlGaInP](#) bar code readers, first diode laser pointers (now obsolete, replaced by brighter 650 nm and 671 nm DPSS)
- 760 nm – [AlGaInP](#) gas sensing: O₂
- 785 nm – [GaAlAs](#) [Compact Disc](#) drives
- **808 nm** – [GaAlAs pumps](#) in [DPSS Nd:YAG lasers](#) (e.g., in green laser pointers or as arrays in higher-powered lasers)
- 848 nm – [laser mice](#)
- 980 nm – [InGaAs](#) pump for [optical amplifiers](#), for [Yb:YAG](#) DPSS lasers
- 1,064 nm – [AlGaAs](#) [fiber-optic communication](#), [DPSS](#) laser pump frequency
- 1,310 nm – [InGaAsP](#), [InGaAsN](#) fiber-optic communication
- 1,480 nm – [InGaAsP](#) pump for optical amplifiers
- 1,512 nm – [InGaAsP](#) gas sensing: NH₃
- **1,550 nm** – [InGaAsP](#), [InGaAsNSb](#) fiber-optic communication
- 1,625 nm – [InGaAsP](#) fiber-optic communication, service channel
- 1,654 nm – [InGaAsP](#) gas sensing: CH₄
- 1,877 nm – [GaInAsSb](#) gas sensing: H₂O
- 2,004 nm – [GaInAsSb](#) gas sensing: CO₂
- 2,330 nm – [GaInAsSb](#) gas sensing: CO
- 2,680 nm – [GaInAsSb](#) gas sensing: CO₂
- 3,030 nm – [GaInAsSb](#) gas sensing: C₂H₂
- 3,330 nm – [GaInAsSb](#) gas sensing: CH₄

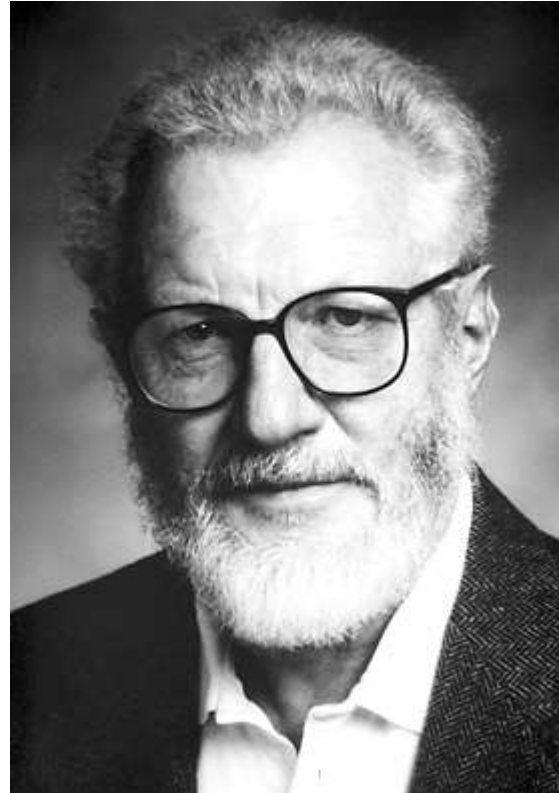


10.4.2 Halbleiter-Laser

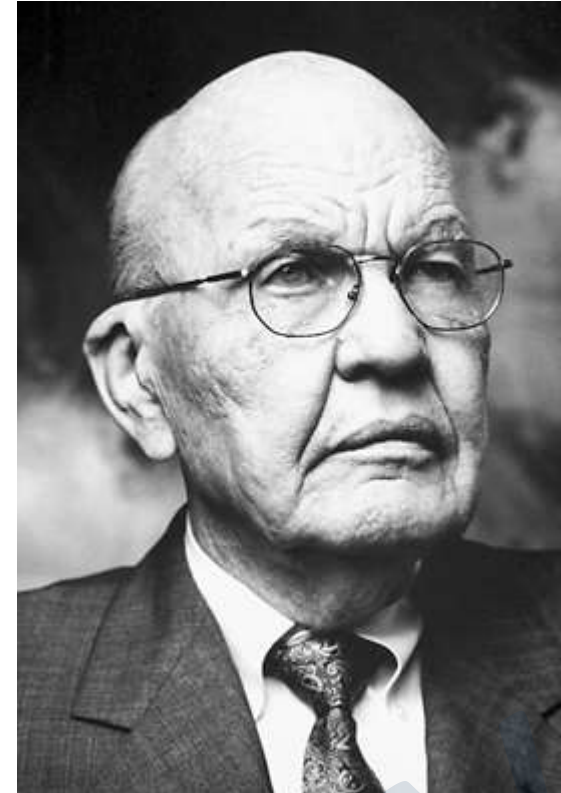
- zentrale Bedeutung von Lasern und integrierten HL-Schaltungen für Informations- und Kommunikationstechnologie



Zhores I. Alferov



Herbert Kroemer

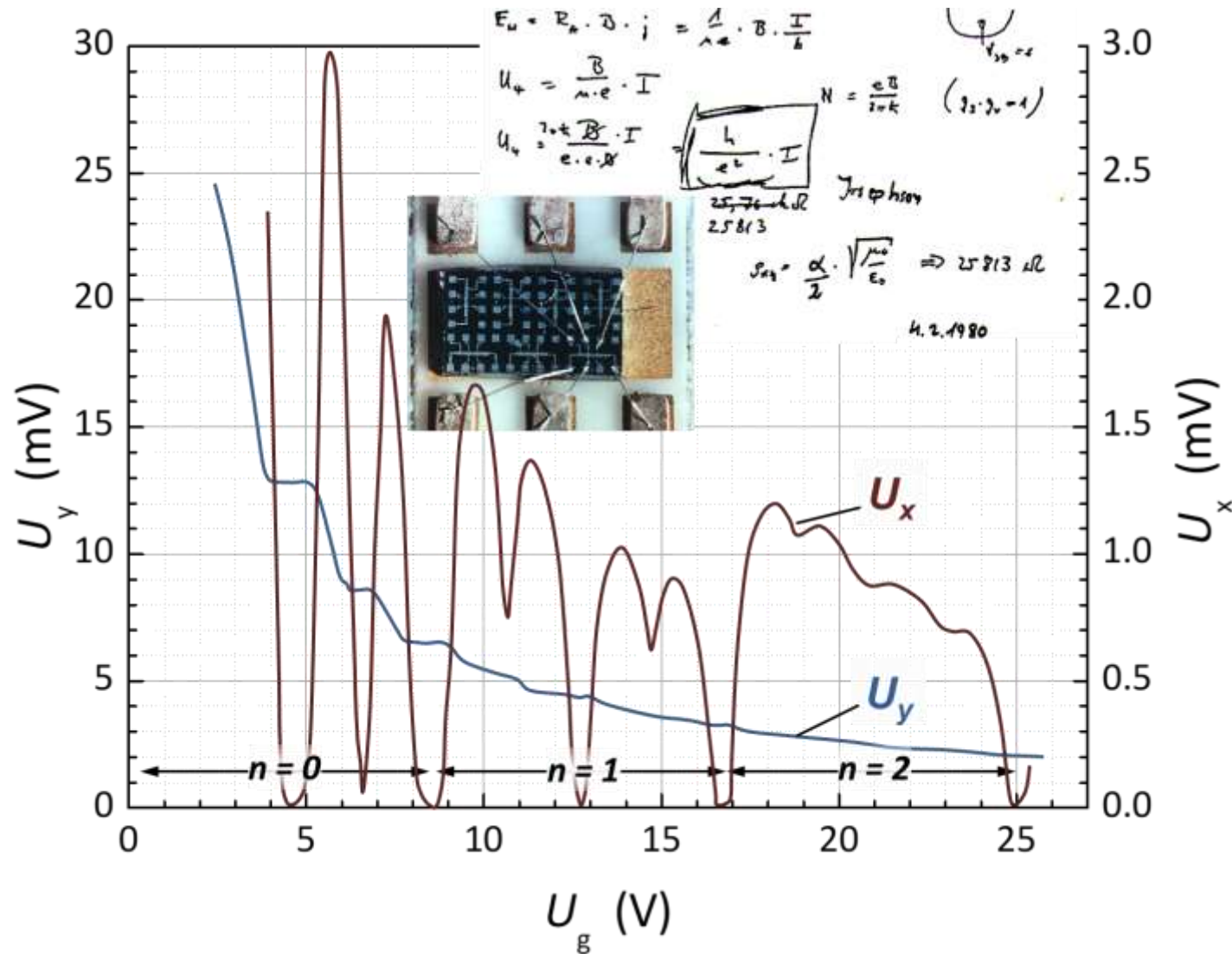


Jack S. Kilby

The **Nobel Prize in Physics 2000** was awarded "*for basic work on information and communication technology*" with one half jointly to Zhores I. Alferov and Herbert Kroemer "*for developing semiconductor heterostructures used in high-speed- and opto-electronics*" and the other half to Jack S. Kilby "*for his part in the invention of the integrated circuit*".

10.5 Quanten-Hall-Effekt

- Entdeckung durch von Klitzing, Dorda und Pepper in 2DEG von MOSFET (1980)



Hall-Widerstand von 2DEG in MOSFET als Funktion der Gate-Spannung zeigt Plateaus bei Werten

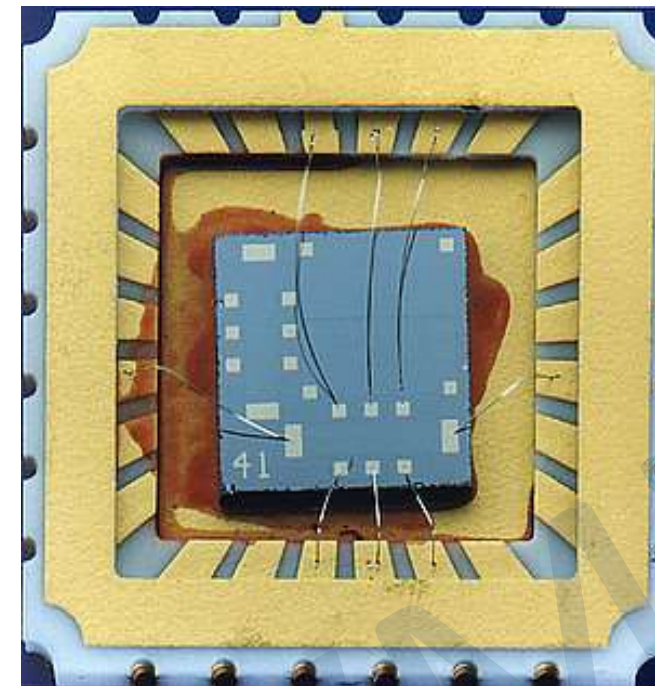
$$R_v = 25\,813 \, \Omega/\nu, \quad \nu = 1, 2, 3, \dots$$

$$R_K = \frac{h}{e^2} = 25\,813.807\,4555(59) \, \Omega$$

von Klitzing-Konstante

Woher kommt Quantisierung ?

10.5 Quanten-Hall-Effekt



Quanten-Hall Referenzwiderstände (Quelle: PTB Braunschweig)



Klaus von Klitzing (geb. 1943), Nobelpreis für Physik 1985

„für die Entdeckung des quantisierten Hall-Effekts“

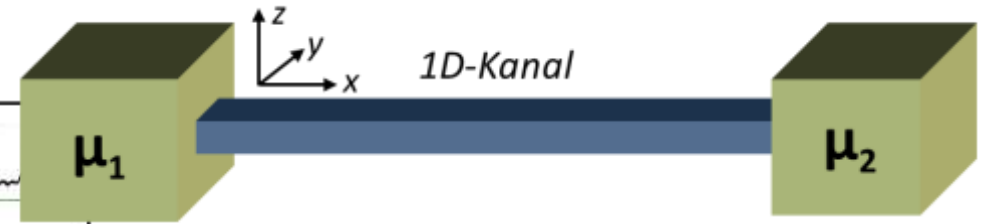
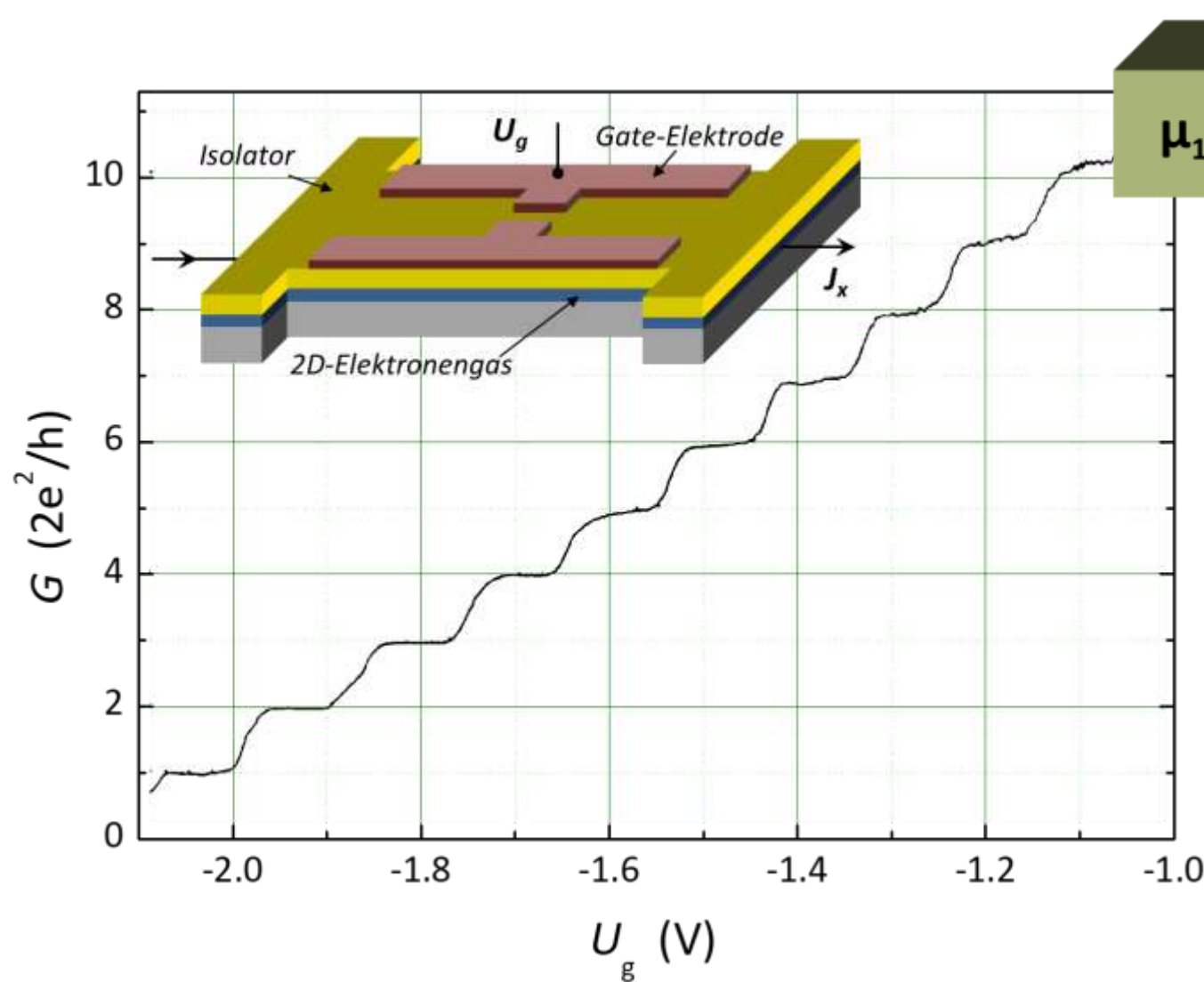
TUM Distinguished Affiliated Professor

von 1980 bis 1985 Professor am
Physik-Department der TUM,
anschließend Direktor am Max-Planck-
Institut für Festkörperforschung in
Stuttgart



10.5 Quanten-Hall-Effekt

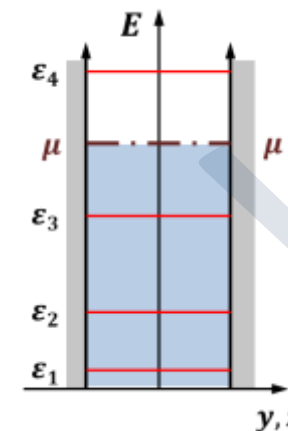
- Leitwert-Quantisierung in 1D-Elektronengas (Wiederholung)



Leitwert eines ballistischen 1D-Transportkanals ist quantisiert

$$I = 2 \frac{e^2}{h} U \text{ mit } G_K = \frac{e^2}{h} \text{ bzw. } R_K = \frac{h}{e^2}$$

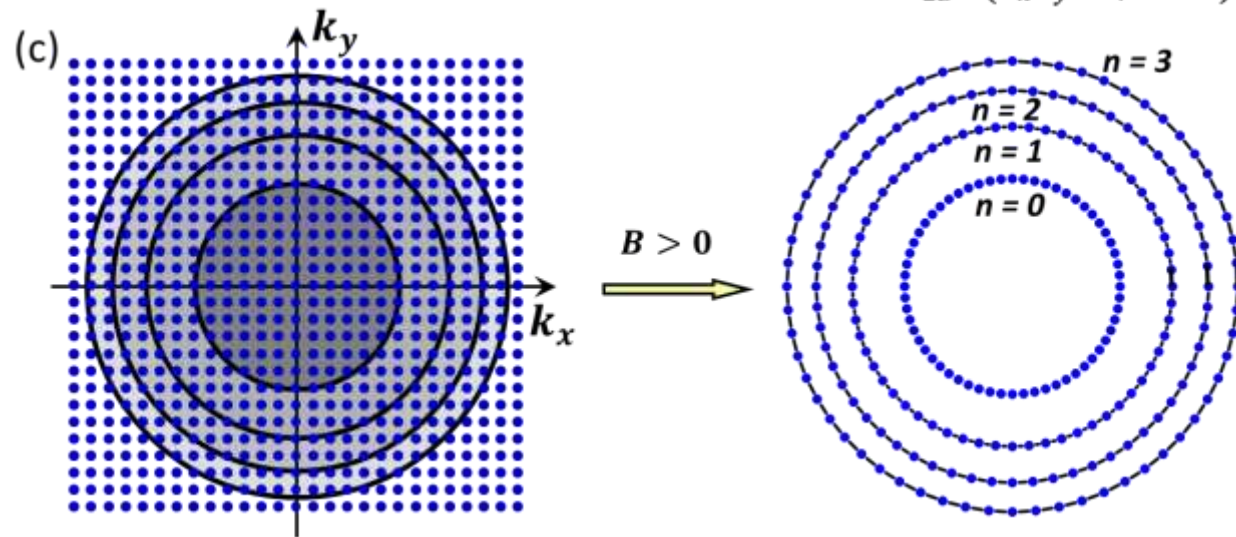
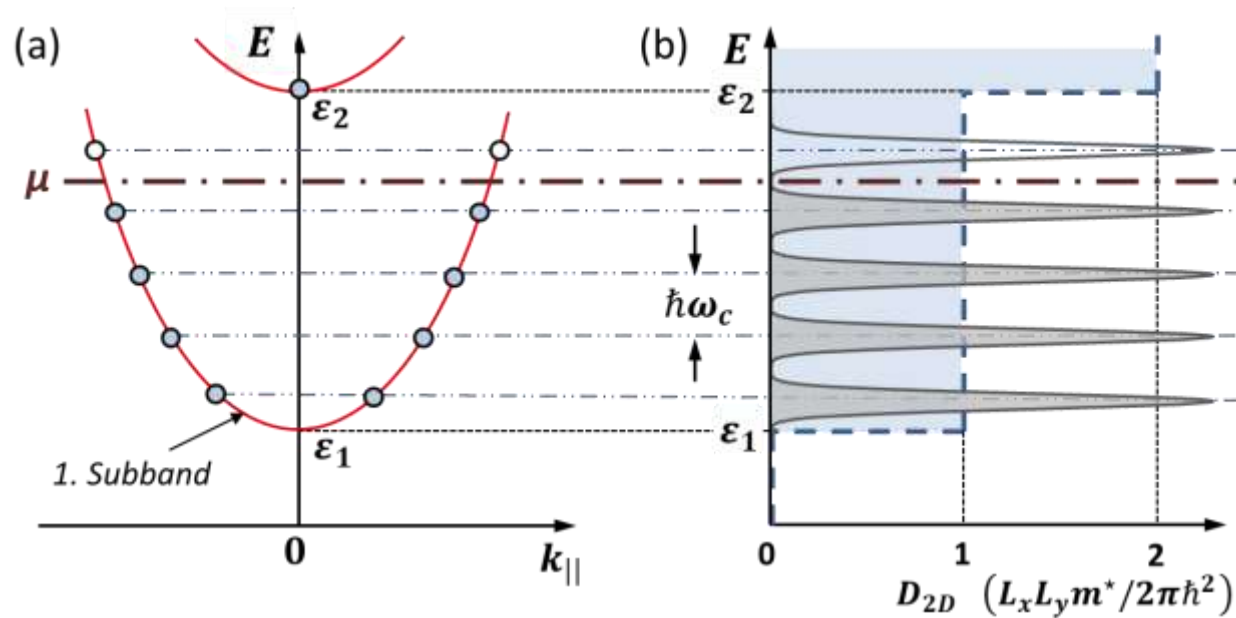
Faktor 2 durch Spin-Entartung



U_g schiebt μ nach oben, so dass immer mehr Transportkanäle geöffnet werden, von denen jeder $2e^2/h$ beiträgt

10.5 Quanten-Hall-Effekt

- 2D-Elektronengas (Wiederholung)



Eigenenergien:

$$\epsilon_n = \epsilon_1 + \left(n + \frac{1}{2}\right) \hbar\omega_c \pm g\mu_B s B$$

1. Subband

Spin-Aufspaltung
($\mu_B =$ Bohrsches Magneton)

Kreisbewegung in Ebene $\perp B$
um Schwerpunktkoordinate x_0



10.5 Quanten-Hall-Effekt

- Leitfähigkeitstensor von 2D-Elektronengas (Wiederholung)

$$\begin{pmatrix} J_x \\ J_y \end{pmatrix} = \begin{pmatrix} \sigma_{xx} & \sigma_{xy} \\ \sigma_{yx} & \sigma_{yy} \end{pmatrix} \begin{pmatrix} E_x \\ E_y \end{pmatrix} = \frac{\sigma_0}{1 + \omega_c^2 \tau^2} \begin{pmatrix} 1 & -\omega_c \tau \\ +\omega_c \tau & 1 \end{pmatrix} \begin{pmatrix} E_x \\ E_y \end{pmatrix} \quad \text{mit} \quad \sigma_0 = \frac{n_{2D} e^2 \tau}{m^*} \quad (\text{Drude-Leitfähigkeit})$$

- Tensoren der elektrischen Leitfähigkeit und des elektrischen Widerstands (Annahme: $\sigma_{xx} = \sigma_{yy}$, bzw. $\rho_{xx} = \rho_{yy}$)

$$\begin{array}{cc} \sigma_{xx} = \frac{\rho_{xx}}{\rho_{xx}^2 + \rho_{xy}^2} & \sigma_{xy} = \frac{-\rho_{xy}}{\rho_{xx}^2 + \rho_{xy}^2} & \rho_{xx} = \frac{\sigma_{xx}}{\sigma_{xx}^2 + \sigma_{xy}^2} & \rho_{xy} = \frac{-\sigma_{xy}}{\sigma_{xx}^2 + \sigma_{xy}^2} \\ \sigma_{yx} = \frac{+\rho_{xy}}{\rho_{xx}^2 + \rho_{xy}^2} & \sigma_{yy} = \frac{\rho_{xx}}{\rho_{xx}^2 + \rho_{xy}^2} & \rho_{yx} = \frac{+\sigma_{xy}}{\sigma_{xx}^2 + \sigma_{xy}^2} & \rho_{yy} = \frac{\sigma_{xx}}{\sigma_{xx}^2 + \sigma_{xy}^2} \end{array}$$

Wichtig: σ und ρ sind keine Zahlen mehr, sondern Tensoren (2x2 Matrix), es gilt nicht $\sigma = 1/\rho$

Hinweis:

Für $\sigma_{xx} = 0$ erhalten wir ungewöhnlicherweise auch $\rho_{xx} = 0$, man kann aber leicht zeigen, dass die effektive Längsleitfähigkeit σ_{eff} endlich ist

$$\begin{array}{l} J_x = \sigma_{xx} E_x + \sigma_{xy} E_y \\ J_y = \sigma_{yx} E_x + \sigma_{yy} E_y \end{array} \quad \Rightarrow \quad \text{für } J_y = 0 \text{ folgt } E_y = \frac{\sigma_{yx}}{\sigma_{yy}} E_x \text{ und mit } J_x = \sigma_{xx} E_x + \sigma_{xy} E_y \text{ ergibt sich } J_x = \left(\sigma_{xx} + \frac{\sigma_{xy}^2}{\sigma_{yy}} \right) E_x = \sigma_{\text{eff}} E_x \quad \begin{array}{l} \sigma_{\text{eff}} \rightarrow \infty \\ \text{für } \sigma_{xx}, \sigma_{yy} \rightarrow 0 \end{array}$$

10.5 Quanten-Hall-Effekt

- Experimentelle Konfiguration (Messungen an Hall-Balken)

- J_x wird vorgegeben, $J_y = 0$ (hochohmiges Voltmeter) und U_x, U_y werden gemessen, n_{2D} wird über U_g variiert

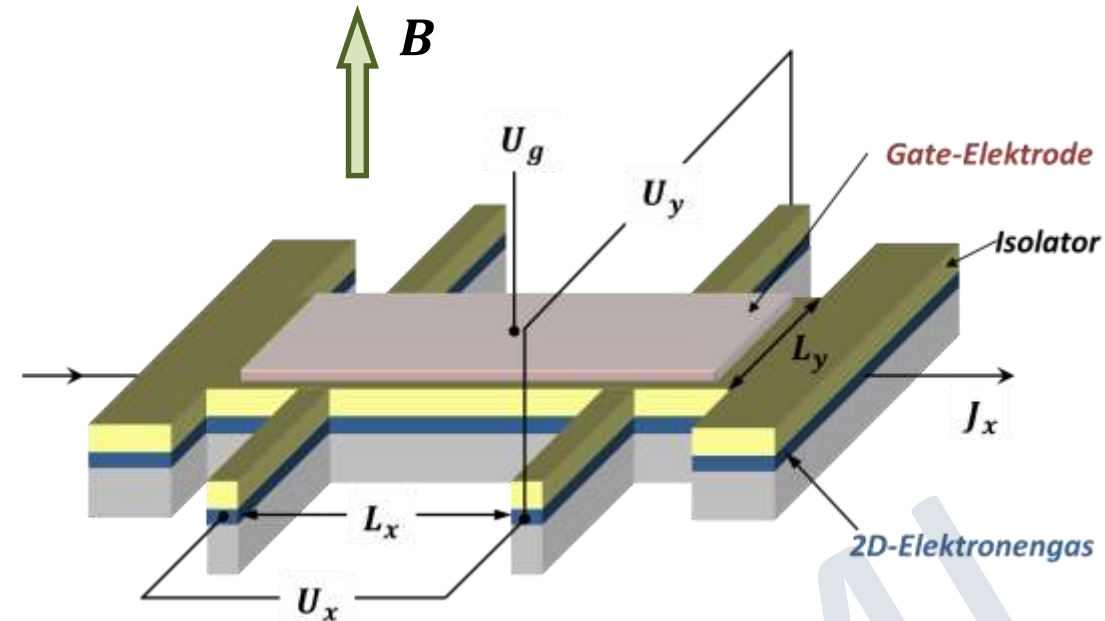
- $U_x = E_x \cdot L_x$

- $U_y = E_y \cdot L_y$

- Kompensation von Lorentz-Kraft $F_{L,y} = (-e)v_x B$ und Kraft durch elektrisches Feld $F_{L,y} = (-e)E_y$

- $-ev_x B - eE_y = 0 \quad \Rightarrow \quad E_y = \frac{U_y}{L_y} = -v_x B$

- $\rho_{xy} = \frac{E_y}{J_x} = \frac{-v_x B}{n_{2D} e v_x} \quad \Rightarrow \quad \rho_{xy} = -\frac{1}{n_{2D} e} B = R_H B$



Hall-Konstante $R_H = -\frac{1}{n_{2D} e}$

Beim Übergang von Elektronen ($-e$) zu Löchern ($+e$) bleibt das Vorzeichen von Lorentz-Kraft gleich, da sich die Vorzeichen von Ladung und Geschwindigkeit umkehren, das Vorzeichen der Kraft durch das E -Feld ändert sich dagegen $\rightarrow \rho_{xy} = +B/n_{2D} e$ und $R_H = +1/n_{2D} e$

10.5 Quanten-Hall-Effekt

- Diskussion des Falls sehr reiner Proben und hoher Magnetfelder: $\omega_c \tau \gg 1$

$$\begin{pmatrix} J_x \\ J_y \end{pmatrix} = \frac{\sigma_0}{1 + \omega_c^2 \tau^2} \begin{pmatrix} 1 & -\omega_c \tau \\ +\omega_c \tau & 1 \end{pmatrix} \begin{pmatrix} E_x \\ E_y \end{pmatrix}$$

mit $\sigma_0 = \frac{n_{2D} e^2 \tau}{m^*}$ (Drude-Leitfähigkeit)

$$\rho_{xy} = -\frac{1}{n_{2D} e} B = R_H B$$

$$\omega_c \tau \gg 1 \quad \Rightarrow \quad \sigma_{xx}, \sigma_{yy} \rightarrow 0$$

$$\Rightarrow \quad \rho_{xy} = -\frac{\sigma_{xy}}{\sigma_{xx}^2 + \sigma_{xy}^2} \approx -\frac{1}{\sigma_{xy}}$$

$$\Rightarrow \quad \sigma_{xy} = \frac{-\rho_{xy}}{\rho_{xx}^2 + \rho_{xy}^2} \approx -\frac{1}{\rho_{xy}}$$

$$\sigma_{xy} = \frac{n_{2D} e}{B}$$

*allgemeine Eigenschaft von 2D-Elektronengas
in gekreuzten E- und B-Feldern*

$\sigma_{xx} = \frac{\rho_{xx}}{\rho_{xx}^2 + \rho_{xy}^2}$	$\sigma_{xy} = \frac{-\rho_{xy}}{\rho_{xx}^2 + \rho_{xy}^2}$
$\sigma_{yx} = \frac{+\rho_{xy}}{\rho_{xx}^2 + \rho_{xy}^2}$	$\sigma_{yy} = \frac{\rho_{xx}}{\rho_{xx}^2 + \rho_{xy}^2}$
$\rho_{xx} = \frac{\sigma_{xx}}{\sigma_{xx}^2 + \sigma_{xy}^2}$	$\rho_{xy} = \frac{-\sigma_{xy}}{\sigma_{xx}^2 + \sigma_{xy}^2}$
$\rho_{yx} = \frac{+\sigma_{xy}}{\sigma_{xx}^2 + \sigma_{xy}^2}$	$\rho_{yy} = \frac{\sigma_{xx}}{\sigma_{xx}^2 + \sigma_{xy}^2}$

10.5 Quanten-Hall-Effekt

- vereinfachte Erklärung für Auftreten von Quanten-Hall-Plateaus

- **Annahme:** $k_B T \ll \hbar \omega_c$, μ liegt zwischen Landau-Niveaus n und $n + 1$

Elektronendichte:
$$n_{2D} = \frac{N_e}{L_x L_y} = \frac{n \cdot p}{L_x L_y} = n \cdot \frac{eB}{2\pi\hbar}$$

mit $p = \frac{eB}{2\pi\hbar} L_x L_y$ (Entartung der Landau-Niveaus)

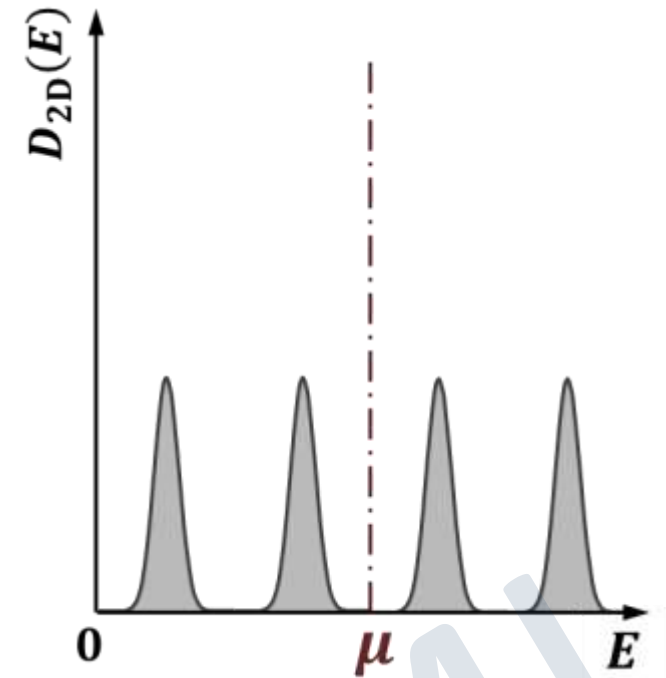
keine Streuzustände, inelastische Prozesse unwahrscheinlich

$\rightarrow \omega_c \tau \rightarrow \infty$

$$\sigma_{xy} = \frac{n_{2D} e}{B} = n \cdot \frac{e^2}{h}$$

$$R_K = \frac{h}{e^2} = 25\,812.807\,4555(59) \, \Omega$$

von Klitzing-Konstante



- **Experiment:**

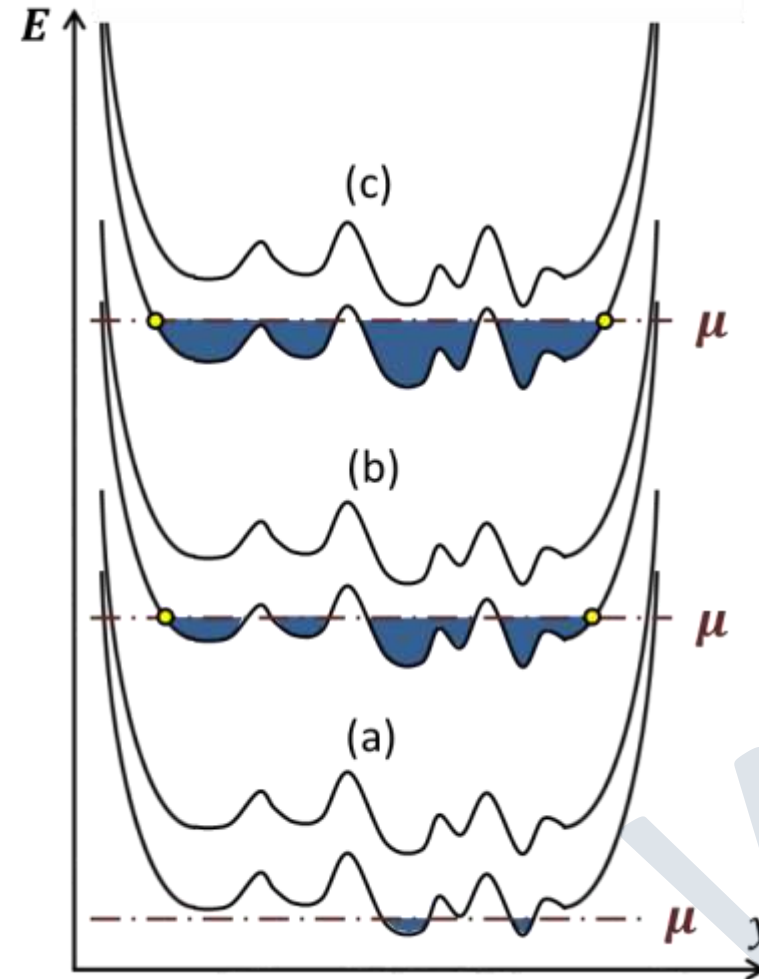
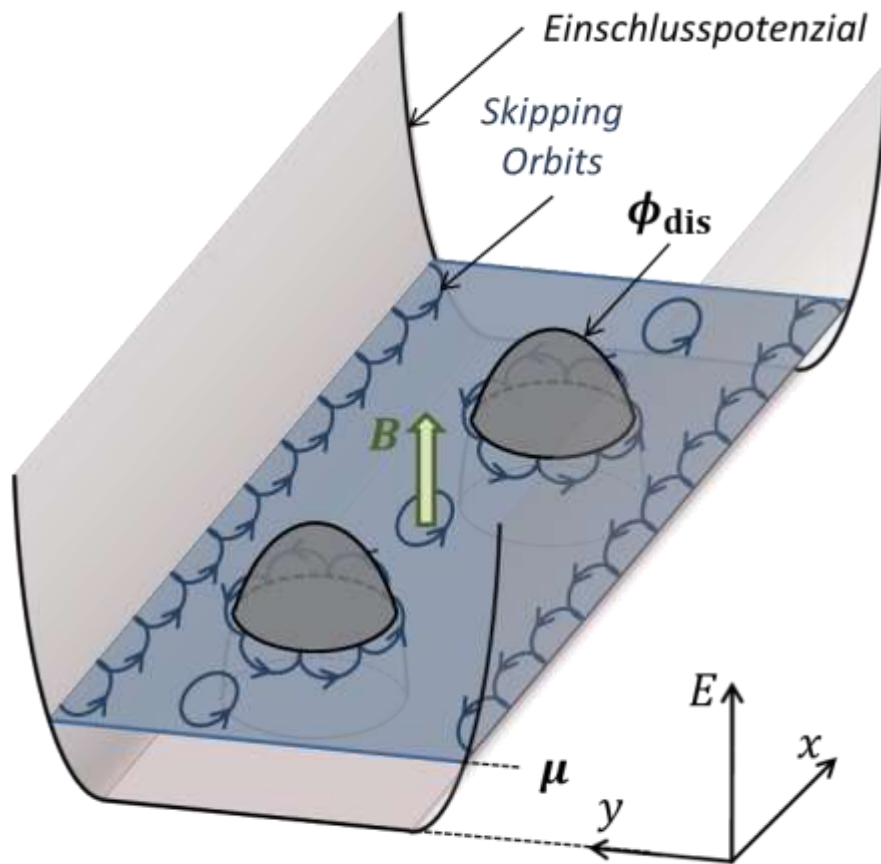
- i. Variation von n_{2D} und damit μ durch Änderung von U_g bei gleichem Abstand der Landau-Niveaus
- ii. Variation des Abstands $\hbar \omega_c$ und der Entartung p der Landau-Niveaus durch B -Änderung

- **Achtung:**

obige Annahme, dass μ zwischen zwei Landau-Niveaus liegt, gilt nur für ein bestimmtes U_g bzw. B
 \Rightarrow wir erwarten infinitesimale Breite der Quanten-Hall-Plateaus

10.5 Quanten-Hall-Effekt

- Diskussion der endlichen Breite der Quanten-Hall-Plateaus erfordert Einbeziehung des Verunreinigungspotenzials



“skipping orbits” am Rand der Probe bilden 1D-Transportkanäle mit quantisiertem Leitwert

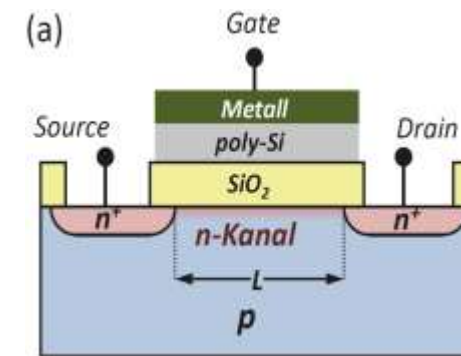
moderne Diskussion: Quanten-Hall-Zustand als topologischer Isolator

• Realisierung von 2DEGs durch Halbleiter-Heterostrukturen

- gute Gitteranpassung von verschiedenen Halbleitermaterialien erlaubt **Heteroepitaxie**
- unterschiedliche Elektronenaffinitäten χ und Energielücken E_g von HL
 → **Banddiskontinuitäten** (normal, gestapelt, gebrochen)
- **Bandverbiegungen** durch unterschiedliche Elektronenaffinitäten χ und Energielücken E_g
- Beispiele: (i) **isotypische HL-Heterostrukturen**, (ii) **Kompositionsübergitter**, (iii) **Dotierungsübergitter**

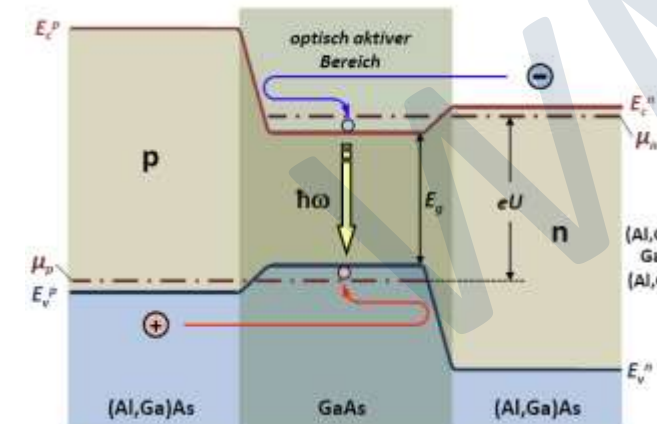
• MOSFET

- Realisierung von 2DEGs, Patentierung bereits 1926 und 1934
- technisch relevant erst nach 1960 → Si/SiO₂ Systeme mit reproduzierbarer HL/Isolator-Grenzfläche
- Realisierung von **Inversionskanal** an HL-Oberfläche über elektrischen Feldeffekt
- Verkürzung der Kanallänge: Mooresches Gesetz
- Entdeckung des Quanten-Hall-Effekts (1980)



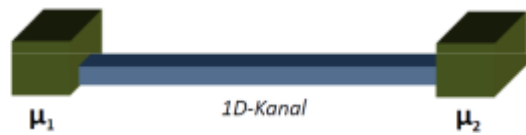
• Halbleiter-Laser

- Erzeugung von Laser-Licht durch LT-Rekombination in pn -artiger Struktur
- z.B. **Double Heterostructure Injection Laser** (H. Kroemer)
- wichtige Anwendungen: optische Kommunikation und Datenspeicher



Zusammenfassung: Teil 8b, 20.04.2021/2

• Leitwertquantisierung in 1D Elektronengas (Wiederholung)



$$I = \frac{e^2}{h} U$$

mit $R_K = \frac{1}{G_K} = \frac{h}{e^2} = 25\,812.807\,4555(59) \, \Omega$

von Klitzing-Konstante

• Quanten-Hall-Effekt: 2DEG in Magnetfeld

- entartete Landau-Niveaus (für eine Spin-Richtung)

$$p = \frac{L_y}{2\pi} \frac{m\omega_c}{\hbar} L_x = \hbar\omega_c D_{2D} = L_x L_y B \frac{e}{2\pi\hbar} = \frac{\Phi}{2\Phi_0} \quad (\Phi_0 = \frac{h}{2e} = \text{Flussquant})$$

\uparrow
 $D_{2D} = \frac{m}{2\pi\hbar^2} L_x L_y$

- Transport charakterisiert durch **Tensoren der elektrischen Leitfähigkeit bzw. des spezifischen elektrischen Widerstands**

$$\begin{pmatrix} J_x \\ J_y \end{pmatrix} = \begin{pmatrix} \sigma_{xx} & \sigma_{xy} \\ \sigma_{yx} & \sigma_{yy} \end{pmatrix} \begin{pmatrix} E_x \\ E_y \end{pmatrix}$$

$\sigma_{xx} = \frac{\rho_{xx}}{\rho_{xx}^2 + \rho_{xy}^2}$	$\sigma_{xy} = \frac{-\rho_{xy}}{\rho_{xx}^2 + \rho_{xy}^2}$	↔	$\rho_{xx} = \frac{\sigma_{xx}}{\sigma_{xx}^2 + \sigma_{xy}^2}$	$\rho_{xy} = \frac{-\sigma_{xy}}{\sigma_{xx}^2 + \sigma_{xy}^2}$
$\sigma_{yy} = \sigma_{xx}$	$\sigma_{yx} = -\sigma_{xy}$		$\rho_{yy} = \rho_{xx}$	$\rho_{yx} = -\rho_{xy}$

- Hall-Effekt: Kompensation von Lorentz-Kraft $(-e)v_x B_z$ und $(-e)E_y$: $-ev_x B_z - eE_y = -ev_x B_z - eU_y/L_y = 0 \Rightarrow U_y = -v_x B_z L_y$
 Stromdichte J_x in Längsrichtung: $J_x = n_{2D} e v_x \Rightarrow \rho_{xy} = E_y/J_x = (U_y/L_y)/(n_{2D} e v_x) = -B_z/n_{2D} e = R_H B$ mit $R_H = -1/n_{2D} e$

- für sehr reine Proben: $\omega_c \tau \gg 1 \Rightarrow \sigma_{xx}, \sigma_{yy} \rightarrow 0$: $\rho_{xy} = -\frac{\sigma_{xy}}{\sigma_{xx}^2 + \sigma_{xy}^2} \approx -\frac{1}{\sigma_{xy}} \Rightarrow \sigma_{xy} \approx -\frac{1}{\rho_{xy}} = \frac{n_{2D} e}{B}$

• Entdeckung des Quanten-Hall-Effekts:

Klitzing, Dorda Pepper (1980) mit 2DEG in MOSFET

→ ρ_{xy} zeigt Plateaus an den Stellen, an denen $\sigma_{xx} \rightarrow 0$

→ Abstand der Plateaus: $R_K = \frac{h}{e^2} = 25\,812.807\,572(95) \, \Omega$

$$\rho_{xy} = -\frac{1}{\sigma_{xy}} = -\frac{B}{n_{2D} e} = R_H B$$

für n gefüllte Landau-Niveaus mit Entartung p

$$n_{2D} = \frac{N_e}{L_x L_y} = \frac{n \cdot p}{L_x L_y} = n \frac{eB}{2\pi\hbar} \Rightarrow \rho_{xy} = \frac{h}{e^2} \frac{1}{n}$$